

Online ISSN : 2186-490X
Print ISSN : 1346-4272

地質調査研究報告

BULLETIN OF THE GEOLOGICAL SURVEY OF JAPAN

Vol. 67 No. 3 2016



地質調査研究報告

BULLETIN OF THE GEOLOGICAL SURVEY OF JAPAN

Vol. 67 No. 3 2016

論文

過去 100 年間における滋賀県琵琶湖の堆積速度と堆積環境

金井 豊・井内美郎 67

概報

Jurassic radiolarians from the Ichinohe–Kunohe area (Iwate Prefecture) in the North Kitakami Belt, Japan

Satoshi Nakae 81

表紙の写真

一戸–九戸地域そびに聳える折爪岳

東北日本の北部北上帶は、玄武岩・石灰岩・チャート・泥岩・砂岩などの多様な岩石から構成されるジュラ系付加複合体が広範囲に露出する地域であり、その北部にあたる「一戸–九戸地域」(岩手県北東部)では下位より、高屋敷層・関層・合戦場層・葛巻層が分布する。写真奥に見える折爪岳は南北に延びる稜線を持ち、玄武岩・石灰岩・チャート・砂岩の岩体を挟有する泥質混在岩(葛巻層)から構成される。一方、準平原化しなだらかな平坦面をもつ低山が写真手前側に広がる。この低山を構成するのは、整然相を示すチャート・泥岩・砂岩(関層・合戦場層)である。岩相的特徴を異にするこれらの地層の地質時代にも有意な差があり、葛巻層がトアルシアン期～バトニアン期であるのに対し、合戦場層と関層はそれぞれオックスフォーディアン期～キンメリッジアン期とキンメリッジアン期を示している。

(写真・文：中江 訓)

Cover photograph

Mt. Oritsume-dake in the Ichinohe–Kunohe area

Jurassic accretionary complexes consisting of basalt, limestone, chert, mudstone, sandstone, etc. are widely exposed in the region called the North Kitakami Belt. In the Ichinohe–Kunohe area (northeastern Iwate Prefecture), located in its northern part, they are stratigraphically divided into four formations: the Takayashiki, Seki, Kassenba and Kuzumaki in ascending order. Mt. Oritsume-dake in the back of the photo, whose ridge runs from north to south, consists of pelitic mixed rock facies including blocks of basalt, limestone, chert and sandstone (Kuzumaki Formation). In contrast, the peneplain in the front with flat-topped low mountains is underlain by coherent rock facies of chert, mudstone and sandstone (Seki and Kassenba formations). Their geological age differs significantly as well as their lithological features: the Kuzumaki Formation ranges from Toarcian age to Bathonian age (Early to Middle Jurassic), while the Seki and Kassenba formations are assigned to Oxfordian–Kimmeridgian age and Kimmeridgian age (Late Jurassic), respectively.

(Photograph and Caption by Satoshi Nakae)

過去 100 年間における滋賀県琵琶湖の堆積速度と堆積環境

金井 豊^{1,*}・井内美郎²

Yutaka Kanai and Yoshio Inouchi (2016) Sedimentation rate and sedimentary environment during the past 100 years in Lake Biwa, Shiga Prefecture, central Japan. *Bull. Geol. Surv. Japan*, vol.67 (3), p.67–80, 12 figs, 5 tables.

Abstract: Two core samples were taken from the northern basin of Lake Biwa in 2001 and 2014, and their sedimentation rates were determined using Pb-210 and Cs-137 methods. One of the sampling locations is off Imazu, near the deepest bottom of the lake and the other is off Takashima, shallower bottom like top of saddle. The average sedimentation rates were about $0.1 \text{ g/cm}^2/\text{y}$ ($0.1\text{--}0.3 \text{ cm/y}$), which are within the range of conventional reports, although that of the former was a little higher than that of the latter. As for the core taken near the deepest bottom of the lake, much sediment with excess Pb-210 deposited before 1960s, suggesting that they were supplied by flood and turbidity current. They are assumed to be caused by the seismic turbidites in 1981 and 1963 and the heavy rains and floods in 1896, 1917, 1950s and 1960s. On the other hand, surface sediment of the core taken at off Takashima showed the variation of water content and Pb-210 concentration, which are ascribed to the disturbance and mixing by surface biota and/or human activities.

Keywords: Lake Biwa, sedimentary environment, sedimentation rate, core, Pb-210, Cs-137

要 旨

琵琶湖北湖の北部の最深部に近い今津沖、及び北湖の湖盆が二分された鞍部のほぼ頂上部に相当する高島沖で、それぞれ2001年と2014年に底質調査を行った。得られたコアを用いてPb-210法及びCs-137法による堆積速度を求め、堆積速度の変遷や過去の堆積環境を調べた。その結果、平均堆積速度は最深部に近い今津沖コアの方がわずかに大きいものの、約 $0.1 \text{ g/cm}^2/\text{y}$ 、 $0.1\text{--}0.3 \text{ cm/y}$ の値が得られ、従来琵琶湖で測定された堆積速度の範囲内であった。

最深部に近い今津沖のコアでは、1960年代以前の堆積物に多くの過剰Pb-210が蓄積されており、洪水堆積物や湖底斜面表層の地震性タービダイトなどにより多くの過剰Pb-210が供給されたと推測された。これは、1891年、1963年の地震性タービダイトや1896年、1917年の大豪雨や1950年代、1960年代の大規模な洪水に起因すると考えられる堆積物が供給されたためであり、現在よりも堆積速度が大きかったと推定される。

一方、鞍部のほぼ頂上部に相当する高島沖で採取したコアの表層部は、含水率やPb-210濃度などに変動が見ら

れ、表層での底生生物による攪乱や人工的な混合などが可能性の一つと考えられた。

1. はじめに

湖沼には周囲の後背地からの堆積物が常に供給され堆積しているので、その底質は後背地堆積物の特性を示し、これらが蓄積した堆積物であるコアは周辺域の過去の環境を記録しているレコーダーとみなすことができる。そのレコードを解きほぐし事象を解明するためには、堆積物コアの時間目盛りは有用で、著者らは天然放射性核種のPb-210や人工放射性核種のCs-137などを利用して、国内外の湖底における堆積速度の測定を行い、その堆積環境を検討してきた(例えば、金井・井内、2004；金井ほか、1995, 1997, 1998a, 1998b, 2000, 2002；佐野ほか、2000)。

琵琶湖は、湖面積 670.25 km^2 、最大水深 103.8 m を有する日本における最大の湖で(国土地理院、2015)，滋賀県の面積の約 $1/6$ を占めている。琵琶湖大橋で北湖と南湖に分けられ、圧倒的に大きな北湖に対し、南湖は小さく富栄養化が進んでいる。第四紀以前に出現していたとも

¹産業技術総合研究所 地質調査総合センター 地質情報研究部門 (AIST, Geological Survey of Japan, Research Institute of Geology and Geoinformation)

²早稲田大学人間科学学術院 (Waseda University, Faculty of Human Sciences)

*Corresponding author: Y. Kanai, Central 7,1-1 Higashi, Tsukuba, Ibaraki 305-8567, Japan. Email: y.kanai@aist.go.jp

考えられ(南ほか, 2002), このため, 琵琶湖に関する研究は古くから行われてきた。

著者らは琵琶湖の北湖の今津沖と高島沖でコアを採取することができた。これらの地点は、前者は北湖の北部に位置する最深部付近で、後者は北湖の南部に位置し、湖内の他の湖底よりは浅めの場所である。そこで、琵琶湖の水深の異なる2地点で採取された2つの底質コアの堆積速度を測定し、過去の堆積環境や堆積速度の変遷を検討したので、その結果について報告する。

2. 試料と分析装置

本研究に供した2本の堆積物コアのうち、一つ(コアA)は2001年6月21日に今津沖(地点A: 東経136度07分57秒, 北緯35度23分41秒, 水深は約90 m)で青木-木下式重力式採泥器(青木・木下, 1979)を用いて採取したものである(インナーチューブの内径6 cm)。西岸の石田川、東岸の姉川・天野川に挟まれた地点で、最深部に近い場所である。もう一つのコア(コアB)は、高島沖(地点B: 東経136度03分13.45秒, 北緯35度14分42.33秒, 水深は約63 m)で2014年7月16日に採取したものである。南部の沖島と安曇川デルタの中間点に位置しており、地形的には北湖の湖盆が二分された鞍部のほぼ頂上部にあたる(井内, 1987)。コアBは、吉川式大口径重力式採泥器を用いて採取した(インナーチューブの内径は11 cm)。これらの採取位置を第1図に示す。

コアAは全長約77 cmであるが、このうちPb-210法の適用可能と思われる上位35 cmまでを本研究の対象とした。採泥器を回収した際に横に倒したために、ごく表層の1, 2 cmが乱れた可能性は否定できない。しかし、肉眼観察ではコアの岩相に際だった特徴は見られなかった。一方、コアBは大口径で重力式の採泥器を利用したためか全長が約19 cmしか得られなかった。コアは均質なシルト質粘土からなるが、同様に明瞭な縞模様や層は観察されなかった。こちらは倒していないため、コア採取時の試料の乱れはないものと考えられる。これらのコアは、コアAは現地で、コアBは実験室で0.5 cm間隔に分割し、湿潤重量と乾燥重量を測定して含水率を算出した。

乾燥試料は微粉碎し、ナルゲン社製スクリューキャップ付き遠沈管に粉末試料約5 gを封入した。約1ヶ月間密封静置してRa-226, Rn-222, Pb-214の核種間で放射平衡になるのを待ち、Pb-210, Pb-214, Cs-137, K-40等の放射線を測定した(例えば、金井ほか, 1995, 1997)。

放射線測定は、低バックグラウンド仕様の米国ORTEC社製井戸型ゲルマニウム半導体検出器(GWL-140230-S及びGWL-120-16-LB-AWT-HJ-S)を用いて、コンピュータ制御されたSEIKO EG&G社製スペクトラムマスター92XならびにMCA7600でデータ収集を行った。測定時間はおよそ1~3日間である。各核種の放射線強度の



第1図 試料採取地点(図の●マーク位置)。

地理院地図(<http://maps.gsi.go.jp/?z=4&ll=35.99989,138.75#10/35.245619/136.054688>)を利用して作図。

Fig.1 Map showing sampling location ("●" in the figure). It is prepared by using GSI Maps (<http://maps.gsi.go.jp/?z=4&ll=35.99989,138.75#10/35.245619/136.054688>)

算出には、46.5 keV(Pb-210), 352 keV(Pb-214), 661.6 keV(Cs-137), 1461 keV(K-40)の γ 線を使用し、U鉱石(ピッチブレンド)から調製した標準濃度試料との比較で定量を行った。封入した遠沈管での測定試料の高さによって検出効率が変化するので、それぞれのピーク強度に試料高さによる補正を行った(金井, 1993)。

3. 結果と考察

3.1 コアAにおける含水率及び核種濃度の深度変化

2001年に採取したコアAの含水率・含水比を第1表及び第2図に示した。ここで示した含水率は、分割した試料の湿重量に対する水分重量の割合を示し、含水比は乾燥重量に対する水分重量の割合を百分率(%)で示したものである。両者はどちらも同じものを示すが、含水率(α)に比べ含水比(β)の方が変動を強調できる特徴がある。なお、百分率を小数にして比較すると、両者の間に $\alpha = \beta / (1 + \beta)$, $\beta = \alpha / (1 - \alpha)$ の関係がある。第2図を見ると、含水率は表層から急激に低下し、深度6.0 cmで一時的にとどまり、更に16.0 cmまで急激に低下し、その後は変動があるもののほぼ一定の値を示している。通常は表層から深部に向かって圧密の効果で減少してほぼ一定となる傾向があるが、本試料では6.0 cmや16.0 cm前後で何らかの粒度分布の変動や環境変化があった可能性が推定される。

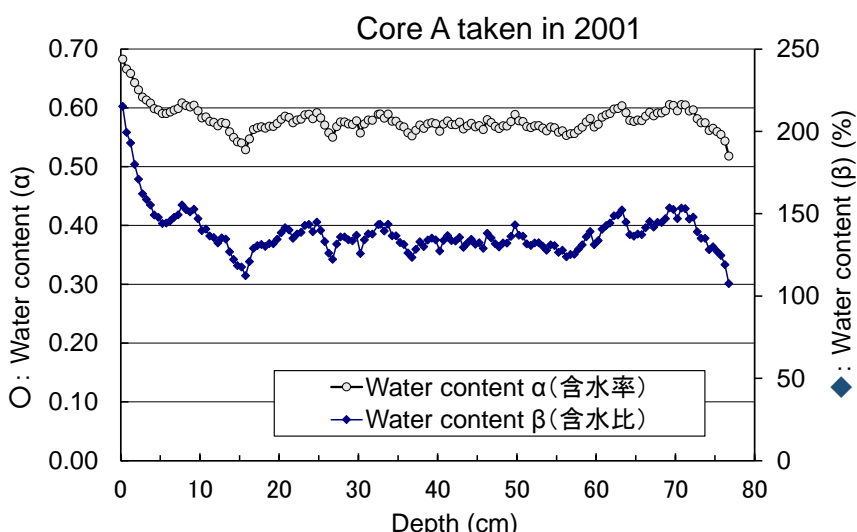
一方、Pb-210, Pb-214, Cs-137, K-40などの放射線濃度の定量結果を第2表に示した。また、Pb-210, Pb-214, K(K-40から計算)、及びPb-210とPb-214から計算した過剰Pb-210([過剰Pb-210]=[Pb-210]-[Pb-214])の深度変化を第3図に示した。第3図(a)の横軸の深度は長さ単

過去 100 年間における滋賀県琵琶湖の堆積速度と堆積環境（金井・井内）

第1表 2001年に琵琶湖から採取したコアAの含水率(α), 含水比(β).

Table 1 Water contents of core A taken from Lake Biwa in 2001.

No.	Depth (cm)	Water content													
		α	β												
1	0.0 - 0.5	0.68	2.15	41	20.0 - 20.5	0.58	1.39	81	40.0 - 40.5	0.56	1.27	121	60.0 - 60.5	0.57	1.34
2	0.5 - 1.0	0.67	1.99	42	20.5 - 21.0	0.59	1.41	82	40.5 - 41.0	0.57	1.34	122	60.5 - 61.0	0.58	1.41
3	1.0 - 1.5	0.66	1.93	43	21.0 - 21.5	0.58	1.40	83	41.0 - 41.5	0.58	1.37	123	61.0 - 61.5	0.59	1.43
4	1.5 - 2.0	0.64	1.80	44	21.5 - 22.0	0.57	1.35	84	41.5 - 42.0	0.57	1.34	124	61.5 - 62.0	0.59	1.44
5	2.0 - 2.5	0.63	1.71	45	22.0 - 22.5	0.58	1.38	85	42.0 - 42.5	0.57	1.33	125	62.0 - 62.5	0.60	1.49
6	2.5 - 3.0	0.62	1.62	46	22.5 - 23.0	0.58	1.39	86	42.5 - 43.0	0.58	1.36	126	62.5 - 63.0	0.60	1.49
7	3.0 - 3.5	0.61	1.59	47	23.0 - 23.5	0.59	1.43	87	43.0 - 43.5	0.56	1.30	127	63.0 - 63.5	0.60	1.52
8	3.5 - 4.0	0.61	1.55	48	23.5 - 24.0	0.59	1.44	88	43.5 - 44.0	0.57	1.32	128	63.5 - 64.0	0.59	1.45
9	4.0 - 4.5	0.60	1.49	49	24.0 - 24.5	0.58	1.39	89	44.0 - 44.5	0.57	1.35	129	64.0 - 64.5	0.58	1.37
10	4.5 - 5.0	0.60	1.48	50	24.5 - 25.0	0.59	1.45	90	44.5 - 45.0	0.57	1.31	130	64.5 - 65.0	0.58	1.36
11	5.0 - 5.5	0.59	1.44	51	25.0 - 25.5	0.58	1.40	91	45.0 - 45.5	0.57	1.32	131	65.0 - 65.5	0.58	1.38
12	5.5 - 6.0	0.59	1.44	52	25.5 - 26.0	0.57	1.33	92	45.5 - 46.0	0.56	1.29	132	65.5 - 66.0	0.58	1.37
13	6.0 - 6.5	0.59	1.46	53	26.0 - 26.5	0.56	1.26	93	46.0 - 46.5	0.58	1.38	133	66.0 - 66.5	0.59	1.42
14	6.5 - 7.0	0.60	1.48	54	26.5 - 27.0	0.55	1.22	94	46.5 - 47.0	0.57	1.35	134	66.5 - 67.0	0.59	1.45
15	7.0 - 7.5	0.60	1.49	55	27.0 - 27.5	0.57	1.32	95	47.0 - 47.5	0.57	1.32	135	67.0 - 67.5	0.59	1.42
16	7.5 - 8.0	0.61	1.55	56	27.5 - 28.0	0.58	1.36	96	47.5 - 48.0	0.56	1.30	136	67.5 - 68.0	0.59	1.45
17	8.0 - 8.5	0.60	1.52	57	28.0 - 28.5	0.58	1.36	97	48.0 - 48.5	0.57	1.32	137	68.0 - 68.5	0.59	1.45
18	8.5 - 9.0	0.60	1.51	58	28.5 - 29.0	0.57	1.34	98	48.5 - 49.0	0.57	1.32	138	68.5 - 69.0	0.60	1.47
19	9.0 - 9.5	0.60	1.53	59	29.0 - 29.5	0.57	1.34	99	49.0 - 49.5	0.58	1.36	139	69.0 - 69.5	0.61	1.54
20	9.5 - 10.0	0.60	1.47	60	29.5 - 30.0	0.58	1.37	100	49.5 - 50.0	0.59	1.43	140	69.5 - 70.0	0.60	1.53
21	10.0 - 10.5	0.58	1.40	61	30.0 - 30.5	0.56	1.26	101	50.0 - 50.5	0.58	1.37	141	70.0 - 70.5	0.60	1.47
22	10.5 - 11.0	0.58	1.41	62	30.5 - 31.0	0.57	1.34	102	50.5 - 51.0	0.58	1.36	142	70.5 - 71.0	0.61	1.53
23	11.0 - 11.5	0.58	1.36	63	31.0 - 31.5	0.58	1.38	103	51.0 - 51.5	0.57	1.32	143	71.0 - 71.5	0.60	1.53
24	11.5 - 12.0	0.58	1.36	64	31.5 - 32.0	0.58	1.38	104	51.5 - 52.0	0.57	1.31	144	71.5 - 72.0	0.59	1.47
25	12.0 - 12.5	0.57	1.32	65	32.0 - 32.5	0.59	1.43	105	52.0 - 52.5	0.57	1.32	145	72.0 - 72.5	0.60	1.48
26	12.5 - 13.0	0.58	1.35	66	32.5 - 33.0	0.59	1.44	106	52.5 - 53.0	0.57	1.32	146	72.5 - 73.0	0.58	1.39
27	13.0 - 13.5	0.57	1.35	67	33.0 - 33.5	0.58	1.40	107	53.0 - 53.5	0.57	1.30	147	73.0 - 73.5	0.57	1.35
28	13.5 - 14.0	0.56	1.27	68	33.5 - 34.0	0.59	1.44	108	53.5 - 54.0	0.56	1.28	148	73.5 - 74.0	0.57	1.35
29	14.0 - 14.5	0.55	1.22	69	34.0 - 34.5	0.58	1.37	109	54.0 - 54.5	0.57	1.31	149	74.0 - 74.5	0.56	1.28
30	14.5 - 15.0	0.54	1.18	70	34.5 - 35.0	0.58	1.37	110	54.5 - 55.0	0.57	1.31	150	74.5 - 75.0	0.57	1.30
31	15.0 - 15.5	0.54	1.18	71	35.0 - 35.5	0.57	1.33	111	55.0 - 55.5	0.56	1.27	151	75.0 - 75.5	0.56	1.27
32	15.5 - 16.0	0.53	1.12	72	35.5 - 36.0	0.57	1.31	112	55.5 - 56.0	0.56	1.28	152	75.5 - 76.0	0.55	1.25
33	16.0 - 16.5	0.55	1.21	73	36.0 - 36.5	0.56	1.26	113	56.0 - 56.5	0.55	1.24	153	76.0 - 76.5	0.54	1.19
34	16.5 - 17.0	0.56	1.29	74	36.5 - 37.0	0.55	1.24	114	56.5 - 57.0	0.56	1.25	154	76.5 - 77.0	0.52	1.08
35	17.0 - 17.5	0.57	1.31	75	37.0 - 37.5	0.56	1.28	115	57.0 - 57.5	0.56	1.25				
36	17.5 - 18.0	0.57	1.31	76	37.5 - 38.0	0.57	1.33	116	57.5 - 58.0	0.56	1.28				
37	18.0 - 18.5	0.57	1.30	77	38.0 - 38.5	0.57	1.30	117	58.0 - 58.5	0.57	1.31				
38	18.5 - 19.0	0.57	1.32	78	38.5 - 39.0	0.57	1.34	118	58.5 - 59.0	0.58	1.36				
39	19.0 - 19.5	0.57	1.32	79	39.0 - 39.5	0.57	1.35	119	59.0 - 59.5	0.58	1.39				
40	19.5 - 20.0	0.57	1.34	80	39.5 - 40.0	0.57	1.34	120	59.5 - 60.0	0.57	1.31				



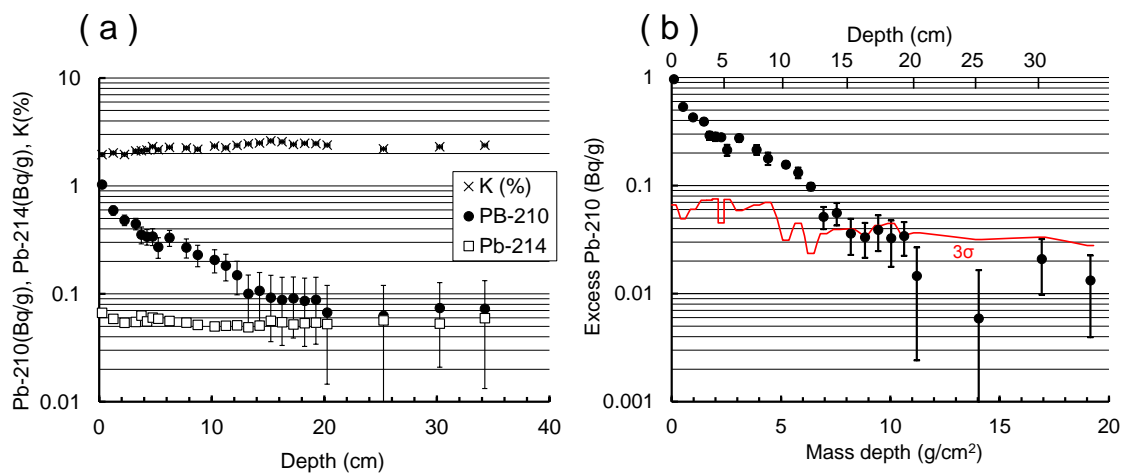
第2図 2001年に琵琶湖から採取したコアAにおける含水率(α), 含水比(β)の変化.

Fig. 2 Variation of water contents of core A taken from Lake Biwa in 2001.

第2表 2001年に琵琶湖から採取したコアAにおけるPb-210, Pb-214, Cs-137, K-40などの放射線濃度.

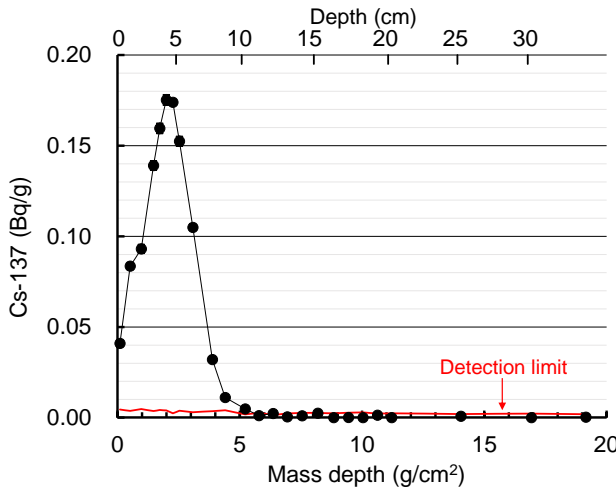
Table 2 Activities of Pb-210, Pb-214, Cs-137 and K-40 in core A taken from Lake Biwa in 2001.

Depth (cm)	Pb-210 $\pm \sigma$ (Bq/g)	Pb-214 $\pm \sigma$ (Bq/g)	Cs-137 $\pm \sigma$ (Bq/g)	K-40 $\pm \sigma$ (Bq/g)
0.0 - 0.5	1.03 \pm 0.02	0.067 \pm 0.003	0.041 \pm 0.002	0.61 \pm 0.02
1.0 - 1.5	0.59 \pm 0.02	0.059 \pm 0.002	0.084 \pm 0.002	0.63 \pm 0.02
2.0 - 2.5	0.48 \pm 0.02	0.054 \pm 0.003	0.093 \pm 0.002	0.61 \pm 0.02
3.0 - 3.5	0.45 \pm 0.02	0.055 \pm 0.003	0.139 \pm 0.002	0.65 \pm 0.02
3.5 - 4.0	0.35 \pm 0.02	0.063 \pm 0.003	0.160 \pm 0.003	0.66 \pm 0.02
4.0 - 4.5	0.34 \pm 0.02	0.056 \pm 0.003	0.175 \pm 0.003	0.67 \pm 0.02
4.5 - 5.0	0.34 \pm 0.01	0.060 \pm 0.002	0.174 \pm 0.002	0.72 \pm 0.01
5.0 - 5.5	0.27 \pm 0.02	0.059 \pm 0.003	0.152 \pm 0.002	0.67 \pm 0.02
6.0 - 6.5	0.33 \pm 0.02	0.056 \pm 0.002	0.105 \pm 0.002	0.71 \pm 0.01
7.5 - 8.0	0.27 \pm 0.02	0.054 \pm 0.002	0.032 \pm 0.001	0.70 \pm 0.02
8.5 - 9.0	0.23 \pm 0.02	0.052 \pm 0.003	0.011 \pm 0.001	0.68 \pm 0.02
10.0 - 10.5	0.21 \pm 0.01	0.050 \pm 0.001	0.005 \pm 0.001	0.73 \pm 0.01
11.0 - 11.5	0.18 \pm 0.01	0.051 \pm 0.002	< 0.003	0.70 \pm 0.01
12.0 - 12.5	0.15 \pm 0.01	0.051 \pm 0.001	0.002 \pm 0.001	0.74 \pm 0.01
13.0 - 13.5	0.10 \pm 0.01	0.049 \pm 0.002	< 0.002	0.76 \pm 0.01
14.0 - 14.5	0.11 \pm 0.01	0.051 \pm 0.002	< 0.003	0.77 \pm 0.01
15.0 - 15.5	0.09 \pm 0.01	0.056 \pm 0.002	< 0.003	0.81 \pm 0.01
16.0 - 16.5	0.09 \pm 0.01	0.055 \pm 0.002	< 0.002	0.80 \pm 0.01
17.0 - 17.5	0.09 \pm 0.01	0.052 \pm 0.002	< 0.003	0.75 \pm 0.01
18.0 - 18.5	0.09 \pm 0.01	0.054 \pm 0.002	< 0.003	0.77 \pm 0.01
19.0 - 19.5	0.09 \pm 0.01	0.054 \pm 0.002	< 0.002	0.77 \pm 0.01
20.0 - 20.5	0.07 \pm 0.01	0.053 \pm 0.002	< 0.002	0.74 \pm 0.01
25.0 - 25.5	0.06 \pm 0.01	0.057 \pm 0.001	< 0.002	0.68 \pm 0.01
30.0 - 30.5	0.07 \pm 0.01	0.053 \pm 0.001	< 0.002	0.71 \pm 0.01
34.0 - 34.5	0.07 \pm 0.01	0.060 \pm 0.001	< 0.002	0.74 \pm 0.01



第3図 2001年に琵琶湖から採取したコアAにおける(a) Pb-210, Pb-214, K 及び(b)過剰Pb-210の深度分布。赤線は、過剰Pb-210の3σ検出限界を示す。

Fig. 3 Variations of (a) Pb-210, Pb-214 and K, and (b) excess Pb-210 in core A taken from Lake Biwa in 2001. Red line shows the 3σ detection limit of excess Pb-210.



第4図 2001年に琵琶湖から採取したコアAにおけるCs-137の深度分布。赤線は、Cs-137の検出限界を示す。

Fig. 4 Variation of Cs-137 in core A taken from Lake Biwa in 2001. Red line shows the detection limit of Cs-137.

位(cm)であるが、第3図(b)のそれは積算質量深度(Mass depth)で、その単位はg/cm²である。深度から積算質量深度への換算は、堆積物の密度を2.65と仮定して含水率から行った。また、過剰Pb-210では計算された計数誤差の3倍を検出限界として図中に表示した(3σと表記)。堆積物中のUやRaなどから生ずるPb-214や堆積物中のKの深度変化に大きな変動がないことから、ほぼ類似した化学組成の堆積物が琵琶湖の後背地から供給されていたことが推定される。一方、Pb-210や過剰Pb-210は、多少の変動はあるものの深度と共に減少しており、過剰Pb-210の対数の傾きから平均堆積速度が算出される(金井, 2000)。堆積速度に関しては、節を変えて検討する。

Cs-137の濃度変化を第4図に示した。深度4.0–5.0 cmで最大値を示し、10.0–12.5 cmから検出可能となるプロファイルを示し、表層でも検出されている。Cs-137法では、過去における大気圏内核実験によって放出されたCs-137濃度のプロファイルが1963年に最大となることを利用して、堆積物中のCs-137濃度の最大部分が1963年の堆積と見なすことに基づいている。近年における大気中へのCs-137の放出は、1986年のチェルノブイリ原発事故や2011年の福島第一原子力発電所事故を除くとほとんど無いが、本研究試料もそうであるように湖底堆積物中では核実験停止後や原発事故以降も未だに検出されている。過去に大気中に放出され浮遊する残存物や後背地からの継続的な供給、湖底堆積物中の拡散などにより、検出可能なレベルの濃度で湖底堆積物に蓄積していると考えられる。

3.2 コアBにおける含水率及び核種濃度の深度変化

2014年に採取したコアBの含水率・含水比を第3表及び第5図に示した。このコアでは表層部(0.0–2.0 cm)で一時的な増減変動が見られたほかは、深部に行くに従い減少した。深度5.5 cmや12.5 cmでの一時的な減少傾向の停滞も見られたが、相対的に小さなものである。第2図に示したコアAと比較すると、全体に含水率・含水比が高い。含水率は圧密の影響を受けるが、基本的には堆積物の粒度組成が関与し、細粒の堆積物ほど空隙率が高く含水率が高い傾向がある(Meade, 1966; 金井ほか, 2000; 藤田ほか, 2013)。コアの採取から分割操作までの時間がコアAとコアBで相違があるが、途中でコアの変質などが無いとすれば、コアBはコアAよりも細粒の堆積物が多いと推定される。約15 cm以深におけるコアA、コアBの含水比は130–140%，150%前後でほぼ一定しており、圧密作用を受けて変動が少なくなっているものと考えられる。

コアBにおけるPb-210、Pb-214、Cs-137、K-40などの放射線濃度の定量結果を第4表に示した。また、Pb-210、Pb-214、K(K-40から計算)、過剰Pb-210の深度変化を第6図に、Cs-137の深度変化を第7図に示した。第3図と同様に、Pb-214や堆積物中のKの深度変化に大きな変動がないことから、2014年までもほぼ類似した堆積物が琵琶湖の後背地から供給されていたと推定される。一方、Pb-210や過剰Pb-210は、表層の0.0–2.0 cmは低下しており、それ以深は多少の変動はあるものの深度と共に減少した。含水率でも表層の0.0–2.0 cmは変化を見せており(第5図を参照)、コア採取時の乱れはなかったと推定されているので、近年の表層の堆積環境に変動があったことを示唆している。Cs-137の濃度変化プロファイルは、深度8.0–10.5 cmにわたり比較的高濃度で、約20 cmから検出可能となった。Pb-210で見られた表層0.0–2.0 cmの特異的変動は、Cs-137では顕著には認められなかった。

また、2014年に採取したコアBでは、2011年3月に発生した福島第一原子力発電所事故によるCs-137とCs-134の影響が見られる可能性がある。しかし、本研究においてCs-134は検出されず、Cs-137濃度の顕著な増大も見られなかった。事故から3年が経過しており、また滋賀県は福島県から遠く離れているため、原発からの飛散・湖底への濃集など、その影響が少なかったと考えられる。事故後に行われた文部科学省の航空機によるサーベイでは、周辺地域での(Cs-134 + Cs-137)濃度は10 kBq/m²以下(2012年4月25日時点)となっており(文部科学省, 2012)，かなり低濃度であったことを示している。

3.3 観測地点における堆積速度(CICモデル)

Pb-210法による堆積速度の算出法には、供給された堆積物中の過剰Pb-210濃度が一定であると仮定して計

第3表 2014年に琵琶湖から採取したコアBの含水率(α)、含水比(β)。

Table 3 Water contents of core B taken from Lake Biwa in 2014.

No.	Depth (cm)	Water content													
		α	β												
1	0.0 - 0.5	0.75	2.97	11	5.0 - 5.5	0.70	2.37	21	10.0 - 10.5	0.65	1.87	31	15.0 - 15.6	0.60	1.48
2	0.5 - 1.0	0.73	2.73	12	5.5 - 6.0	0.70	2.38	22	10.5 - 11.0	0.64	1.81	32	15.6 - 16.1	0.60	1.47
3	1.0 - 1.5	0.74	2.80	13	6.0 - 6.5	0.70	2.35	23	11.0 - 11.5	0.64	1.76	33	16.1 - 16.9	0.60	1.48
4	1.5 - 2.0	0.75	2.96	14	6.5 - 7.0	0.69	2.18	24	11.5 - 12.0	0.64	1.76	34	16.9 - 17.5	0.60	1.49
5	2.0 - 2.5	0.75	2.94	15	7.0 - 7.5	0.68	2.11	25	12.0 - 12.5	0.64	1.75	35	17.5 - 18.4	0.60	1.47
6	2.5 - 3.0	0.74	2.85	16	7.5 - 8.0	0.67	2.05	26	12.5 - 13.0	0.64	1.78	36	18.4 - 19.1	0.60	1.48
7	3.0 - 3.5	0.73	2.77	17	8.0 - 8.5	0.66	1.97	27	13.0 - 13.5	0.63	1.69	37	19.1 - 19.7	0.59	1.44
8	3.5 - 4.0	0.72	2.57	18	8.5 - 9.0	0.66	1.97	28	13.5 - 14.0	0.62	1.64				
9	4.0 - 4.5	0.72	2.52	19	9.0 - 9.5	0.66	1.90	29	14.0 - 14.5	0.61	1.56				
10	4.5 - 5.0	0.71	2.44	20	9.5 - 10.0	0.65	1.88	30	14.5 - 15.0	0.60	1.49				

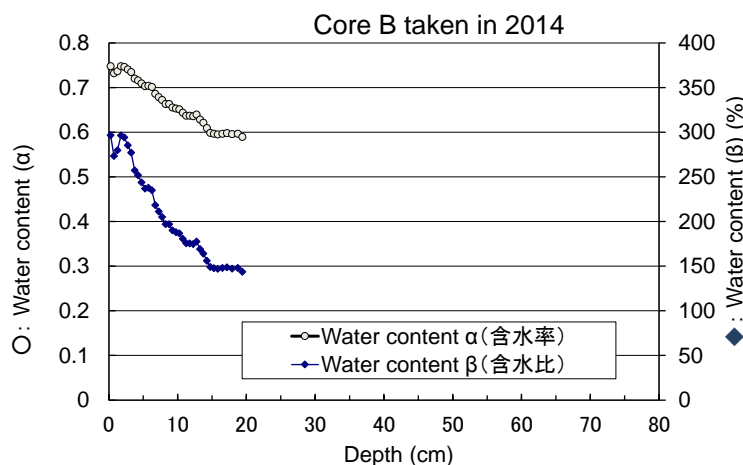
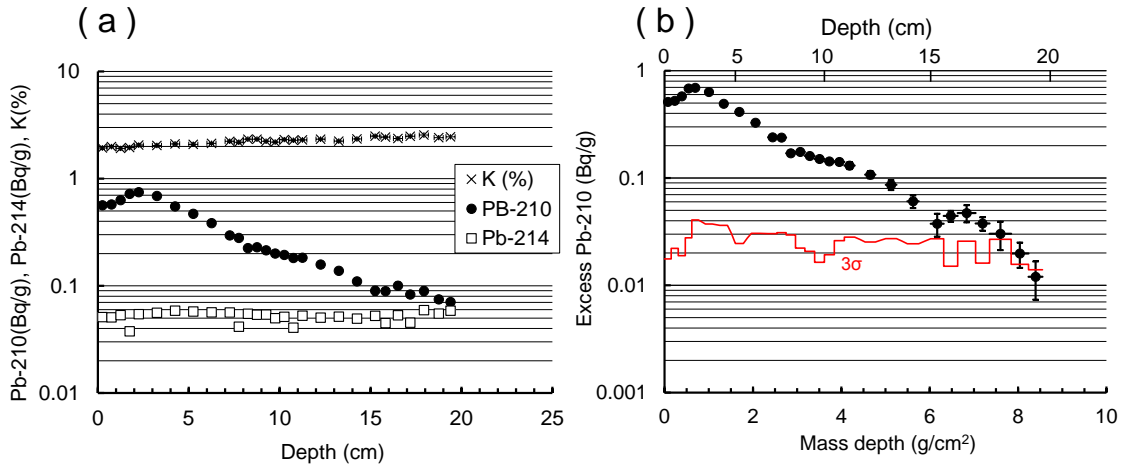
第5図 2014年に琵琶湖から採取したコアBにおける含水率(α)、含水比(β)の変化。

Fig. 5 Variation of water contents of core B taken from Lake Biwa in 2014.

第4表 2014年に琵琶湖から採取したコアAにおけるPb-210, Pb-214, Cs-137, K-40などの放射線濃度。

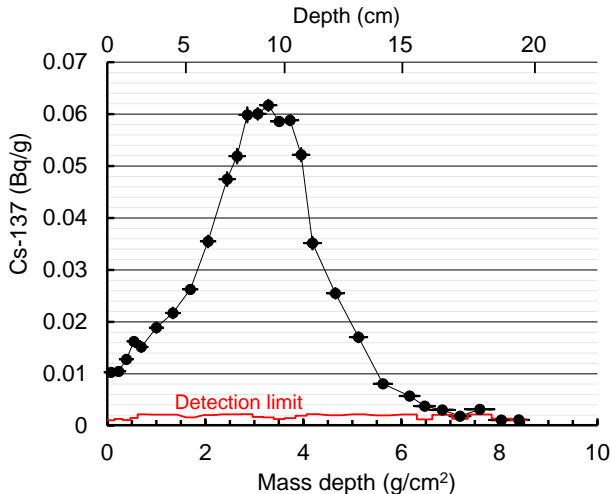
Table 4 Activities of Pb-210, Pb-214, Cs-137 and K-40 in core A taken from Lake Biwa in 2014.

Depth (cm)	Pb-210 $\pm \sigma$ (Bq/g)	Pb-214 $\pm \sigma$ (Bq/g)	Cs-137 $\pm \sigma$ (Bq/g)	K-40 $\pm \sigma$ (Bq/g)
0.0 - 0.5	0.56 \pm 0.01	0.051 \pm 0.001	0.010 \pm 0.001	0.60 \pm 0.01
0.5 - 1.0	0.57 \pm 0.01	0.051 \pm 0.001	0.010 \pm 0.001	0.62 \pm 0.01
1.0 - 1.5	0.63 \pm 0.01	0.053 \pm 0.001	0.013 \pm 0.001	0.59 \pm 0.01
1.5 - 2.0	0.72 \pm 0.01	0.038 \pm 0.001	0.016 \pm 0.001	0.60 \pm 0.01
2.0 - 2.5	0.75 \pm 0.01	0.055 \pm 0.002	0.015 \pm 0.001	0.64 \pm 0.02
3.0 - 3.5	0.69 \pm 0.01	0.056 \pm 0.002	0.019 \pm 0.001	0.63 \pm 0.02
4.0 - 4.5	0.55 \pm 0.01	0.059 \pm 0.002	0.022 \pm 0.001	0.65 \pm 0.02
5.0 - 5.5	0.47 \pm 0.01	0.058 \pm 0.001	0.026 \pm 0.001	0.65 \pm 0.01
6.0 - 6.5	0.38 \pm 0.01	0.057 \pm 0.002	0.035 \pm 0.001	0.66 \pm 0.02
7.0 - 7.5	0.30 \pm 0.01	0.057 \pm 0.002	0.047 \pm 0.001	0.69 \pm 0.02
7.5 - 8.0	0.28 \pm 0.01	0.042 \pm 0.002	0.052 \pm 0.001	0.68 \pm 0.02
8.0 - 8.5	0.23 \pm 0.01	0.055 \pm 0.002	0.060 \pm 0.001	0.72 \pm 0.02
8.5 - 9.0	0.23 \pm 0.01	0.054 \pm 0.001	0.060 \pm 0.001	0.72 \pm 0.01
9.0 - 9.5	0.21 \pm 0.01	0.054 \pm 0.001	0.062 \pm 0.001	0.69 \pm 0.01
9.5 - 10.0	0.20 \pm 0.01	0.050 \pm 0.001	0.059 \pm 0.001	0.68 \pm 0.01
10.0 - 10.5	0.19 \pm 0.01	0.051 \pm 0.001	0.059 \pm 0.001	0.72 \pm 0.01
10.5 - 11.0	0.18 \pm 0.01	0.041 \pm 0.002	0.052 \pm 0.001	0.71 \pm 0.02
11.0 - 11.5	0.18 \pm 0.01	0.053 \pm 0.002	0.035 \pm 0.001	0.71 \pm 0.02
12.0 - 12.5	0.16 \pm 0.01	0.051 \pm 0.002	0.025 \pm 0.001	0.72 \pm 0.02
13.0 - 13.5	0.14 \pm 0.01	0.052 \pm 0.002	0.017 \pm 0.001	0.69 \pm 0.02
14.0 - 14.5	0.11 \pm 0.01	0.050 \pm 0.002	0.008 \pm 0.001	0.73 \pm 0.02
15.0 - 15.5	0.09 \pm 0.01	0.053 \pm 0.002	0.006 \pm 0.001	0.77 \pm 0.02
15.5 - 16.1	0.09 \pm 0.01	0.045 \pm 0.001	0.004 \pm 0.001	0.76 \pm 0.01
16.1 - 16.9	0.10 \pm 0.01	0.053 \pm 0.002	0.003 \pm 0.001	0.73 \pm 0.02
16.9 - 17.5	0.08 \pm 0.01	0.045 \pm 0.001	0.002 \pm 0.001	0.77 \pm 0.01
17.5 - 18.4	0.09 \pm 0.01	0.059 \pm 0.002	0.003 \pm 0.001	0.79 \pm 0.02
18.4 - 19.1	0.07 \pm 0.01	0.055 \pm 0.001	< 0.001	0.75 \pm 0.01
19.1 - 19.7	0.07 \pm 0.01	0.059 \pm 0.001	0.001 \pm 0.001	0.76 \pm 0.01



第6図 2014年に琵琶湖から採取したコアBにおける(a) Pb-210, Pb-214, K及び(b)過剰Pb-210の深度分布。赤線は、過剰Pb-210の 3σ 検出限界を示す。

Fig. 6 Variations of (a) Pb-210, Pb-214 and K, and (b) excess Pb-210 in core B taken from Lake Biwa in 2014. Red line shows the 3σ detection limit of excess Pb-210.



第7図 2014年に琵琶湖から採取したコアBにおけるCs-137の深度分布。赤線は、Cs-137の検出限界を示す。

Fig. 7 Variation of Cs-137 in core B taken from Lake Biwa in 2014. Red line shows the detection limit of Cs-137.

算するCICモデル (Constant Initial Concentration, CAモデル (Constant Activity)ともいう)と、毎年の供給量(フラックス)が一定であると仮定して計算するCRSモデル (Constant Rate of Supply)がある(金井, 2000)。この節ではCICモデルを用いた解析を試みる。Pb-210法では、第3図(b)ならびに第6図(b)における近似直線の傾きから、それぞれのコアにおける平均堆積速度が求められる。測定されたコアの全長データから計算した平均堆積速度や、直線的な範囲に区切って計算した結果などを、第5表に示す。コアAではPb-210法により約0.10–0.13 g/cm²/y (0.17–0.22 cm/y)の堆積速度が得られた。深度を区切って直線近似して平均堆積速度を算出すると、6 cm付近を境に0.06–0.07 g/cm²/y (0.14 cm/y), 0.08–0.11 g/cm²/y (0.11–0.16 cm/y)の堆積速度が得られた。

cm²/y (0.12–0.19 cm/y)と下部の方がわずかに大きい堆積速度となった。一方、Cs-137法では0.05–0.06 g/cm²/y (0.10–0.13 cm/y)という結果が得られ、Pb-210法よりも遅い堆積速度であり、一致はしなかった。しかし、Cs-137法では濃度ピークの位置を基準に表層からの年代を決定しており、本コアでは深度4.0–5.0 cmで最大値となっていることから、表層から5.0 cmまでの平均堆積速度を示している。Pb-210法でも表層から5.5 cmまでの平均堆積速度は0.06 g/cm²/yであり、両者で比較的良い一致を示しているため、約5 cmの範囲では信頼性が高い結果と考えられる。

コアBでは、Pb-210法を用いると約0.06–0.07 g/cm²/y (0.11–0.16 cm/y), Cs-137法では0.05–0.08 g/cm²/y

第5表 琵琶湖におけるコアA（2001年採取）およびコアB（2014年採取）の平均堆積速度とインベントリーの推定値。

Table 5 Estimated sedimentation rates and inventories in cores A and B taken from Lake Biwa in 2001 and 2014.

Sample (Sampling year)	Range of calculation (cm)	Sedimentation rate						Inventory	
		g/cm ² /y			cm/y			Pb-210	Cs-137
		Pb-210	R	Cs-137	Pb-210	R	Cs-137	Bq/cm ²	Bq/cm ²
Core A (2001)	0.0 – 34.5	0.13	-0.933	0.05 - 0.06	0.22	-0.935	0.10 - 0.13	2.17 ± 0.05	0.305 ± 0.002
	0.0 – 25.5	0.10	-0.983		0.17	-0.984		(2.18 ± 0.05)**	
	1.0 – 25.5	0.10	-0.984		0.18	-0.983			
	0.0 – 20.5	0.10	-0.979		0.18	-0.980			
	1.0 – 20.5	0.10	-0.980		0.18	-0.979			
	0.0 – 5.5	0.06	-0.962		0.12	-0.969			
	1.0 – 5.5	0.07	-0.973		0.14	-0.990			
	6.0 – 12.5	0.11	-0.998		0.19	-0.999			
	6.0 – 15.5	0.08	-0.974		0.14	-0.995			
	0.0 – 19.7*	0.07	-0.988	0.05 - 0.08	0.16	-0.979	0.16 - 0.21	1.74 ± 0.01	0.194 ± 0.001
Core B (2014)	2.0 – 19.7*	0.07	-0.989		0.11	-0.989		(1.78 ± 0.01)**	
	2.0 – 15.5	0.06	-0.988		0.15	-0.989			
	2.0 – 7.5	0.05	-0.994		0.15	-0.990			
	8.0 – 11.5	0.14	-0.972		0.32	-0.971			
	12.0 – 14.5	0.05	-0.993		0.11	-0.991			
		16.1 – 19.1*	0.04	-0.991		0.08	-0.991		

R : Correlation coefficient between Ln(excess Pb-210) and depth

* : Estimated depth

** : Estimated inventory (0 to -∞ depth)

(0.16–0.21 cm/y) という結果が得られ、両者ともほぼ一致した。深度を区切って直線近似して平均堆積速度を算出すると、8.0–11.5 cm の範囲で 0.14 g/cm²/y (0.32 cm/y) と大きいが他は 0.04–0.05 g/cm²/y (0.08–0.15 cm/y) 程度となった。

これまでに、琵琶湖の堆積速度については幾つかの報告がなされている。例えば、松本(1975)は日本での先駆的な鉛-210堆積年代測定法の研究において、琵琶湖の3地点で測定を行っている。1973年に調査した結果として、北湖の沖之島–近江舞子中間点(水深70 m)で 0.87 cm/y (上位) と 0.10 cm/y (下位)、舟木–竹生島中間点(水深90 m)で 0.13 cm/y、及び南湖の中心部(水深5 m)で 0.08 cm/y と報告している。Kamiyama *et al.* (1982) は、1979年の調査における堆積速度を Cs-137 の底質への進入深度から算出し、北湖の沿岸域(水深30 m 以浅)で 0.13 g/cm²/y (0.26 cm/y) 以上、深部(水深70–90 m)で 0.019–0.039 g/cm²/y (0.12–0.16 cm/y)、南湖(水深4 m)で 0.24 cm/y と報告している。Taishi *et al.* (1986) は、北湖の南部湖心域で 1982–1983 年に採取された 1,400 m の湖底堆積物柱状試料の最上部粘土層(厚さ 240–250 m)を用いて、かさ密度 (bulk density) の鉛直変化に基づく圧密年代尺度の見積りを fission-track 年代測定値 (Nishimura and Yokoyama, 1973) を利用して行い、堆積速度として 0.033 g/cm²/y を得た。更に太井子・奥田(1989)は、1984 年から 1987 年にかけて採取した北湖東岸にある天野川

から西岸の石田川に掛けて 6 地点と他 3 カ所の計 9 カ所の堆積速度を検討し、湖心部で小さく (0.041–0.062 g/cm²/y; 0.13–0.19 cm/y)、沿岸域(水深31–35 m)で大きくなる (0.093–0.22 g/cm²/y; 0.25–0.48 cm/y) 傾向があること、短期間に多量の堆積物が供給される堆積異常が見出されること、それらは 1896 年の明治大豪雨及び 1959 年の伊勢湾台風に起因する可能性が高いこと、などを明らかにしている。また、堆積速度は一次近似的には湖底水深と正相関があるが(井内, 1987, 1990)、水深 40 m 以深の湖心域では明瞭な関係が見られないとの報告もある(太井子・奥田, 1989)。

中村ほか(1986)は、1984 年に採取した北湖西岸安曇川河口から東方約 10 km の地点(水深 70 m)での堆積速度を $0.033 \pm 0.002 \text{ g/cm}^2/\text{y}$ ($0.152 \pm 0.008 \text{ cm/y}$) と見積もった。早川・横田(2004)は、2004 年に北湖 9 地点、南湖 2 地点の 11 地点における堆積年代を Pb-210 法で決定し、野洲川河口北側の地点(水深 69.2 m)で得られた $0.107 \text{ g/cm}^2/\text{y}$ (約 0.6 cm/y) という堆積速度は、これまで検討した堆積速度範囲 (0.024 – $0.140 \text{ g/cm}^2/\text{y}$) では高く、河川からの供給の影響を受けているものと推定した。彼らは、堆積速度の水深依存性を考慮して、湖全体の平均堆積速度を約 $0.04 \text{ g/cm}^2/\text{y}$ と推定している。また、横田・山本(1999)は、1994 年と 1995 年に北湖の南北 2 地点、及び南湖の 1 地点の合計 3 地点の堆積速度を測定し、北湖の北部で $0.027 \text{ g/cm}^2/\text{y}$ 、南部で $0.070 \text{ g/cm}^2/\text{y}$ という値を得

たが、南湖は算出が困難であったと結論づけている。ちなみに南湖については、北湖が平均水深 44 m (最大水深 104 m) に対し、平均水深 3.5 m (最大深度 8 m) で湖表面積も小さく、船舶や渉渫・シジミかきなどの人為的な影響や、風波や底生生物による底質表面の攪乱などがある (横田・山本, 1999)ため、1998年に行われた水深 4.3 m の地点での調査(南ほか, 2002)では、表層の亂れのため 4–10 cm での Pb-210 法及び Cs-137 法による平均堆積速度を、約 0.3 cm/y と推測したのみである。

このように、場所や測定時期の違いもあるが、これまでの調査研究ではおおよそ 0.02–0.2 g/cm²/y の堆積速度の報告が多く、特に沿岸部では値が高いようである。本研究において算出された平均堆積速度は最深部に近い今津沖コアの方がわずかに大きいものの、0.04–0.14 g/cm²/y で、いずれもこれまでに報告されている堆積速度の範囲内である。井内(1987)は今回の測定点 B とほぼ同じ St.1において 1986 年に約 40 m のコアを採取し、約 6,300 年前の鬼界アカホヤ火山灰 (K-Ah) を指標として 0.02 g/cm²/y という堆積速度を、また、1988 年に今津沖の最深部北方の 3 地点で得たコアの平均堆積速度を 0.09–0.12 g/cm²/y と算出(井内ほか, 1993)したが、本研究の測定結果と比べると小さい値である(鬼界アカホヤ火山灰の年代はその後 7,300 年前とされているので、計算される堆積速度はさらに小さくなる)。本研究の結果は 100 年足らずの期間の平均堆積速度であるのに対し、井内(1987)や井内ほか(1993)では算出方法も本研究とは異なり、過去約 6,300 年前(7,300 年前)から表層までの平均堆積速度であるため、その間に様々な変化・変遷があったためと解釈される。

3.4 CRS モデルによる堆積速度の推定

この節では、毎年の過剰 Pb-210 の供給量(フラックス)が一定であると仮定する CRS モデルを用いて堆積速度の解析を試みる。このモデルでは、過剰 Pb-210 濃度が急に減少した深度では堆積物の供給量が増えて濃度が希釈したとされ(堆積速度の増大)，逆に濃度が増大している深度では供給量が減少している(堆積速度の低下)と解釈されている。したがって、下位に向かって過剰 Pb-210 濃度が単調に低下せず逆転現象が見られても、それは過去の古い堆積物による洪水堆積物や地震性タービダイトのような外来性堆積物が上下に混入したとして解釈できるので、そのような事象が認められる場合には有効なモデルである。CRS モデルによって計算した深度ごとの堆積速度と堆積年代を、第 8 図、第 9 図に示した。各図の(b) では、Cs-137 のピーク位置(1963 年と仮定)を利用した年代も図示してある。

コア A (第 8 図参照) では、含水比での変化が見られた深度 6.0 cm や 16.0 cm に注目すると、深度 16 cm 前後で 0.19 g/cm²/y 程度に高まった堆積速度が次第に下がり、

約 0.10 g/cm²/y でほぼ安定した状態で堆積が継続したが、6.0 cm から再び上昇し 0.13–0.15 g/cm²/y となった後に 4.0–1.5 cm は約 0.10 g/cm²/y に戻り、表層部で 0.07–0.08 g/cm²/y に低下したと計算された(第 8 図(a) 参照)。これに従うと、Cs-137 法でのピークとなる 1963 年の位置は、深度–年代の関係図上で異なる結果となっており、フラックスが常に一定と仮定するシンプルな CRS モデルでは問題が残る。これについては、次節で議論する。

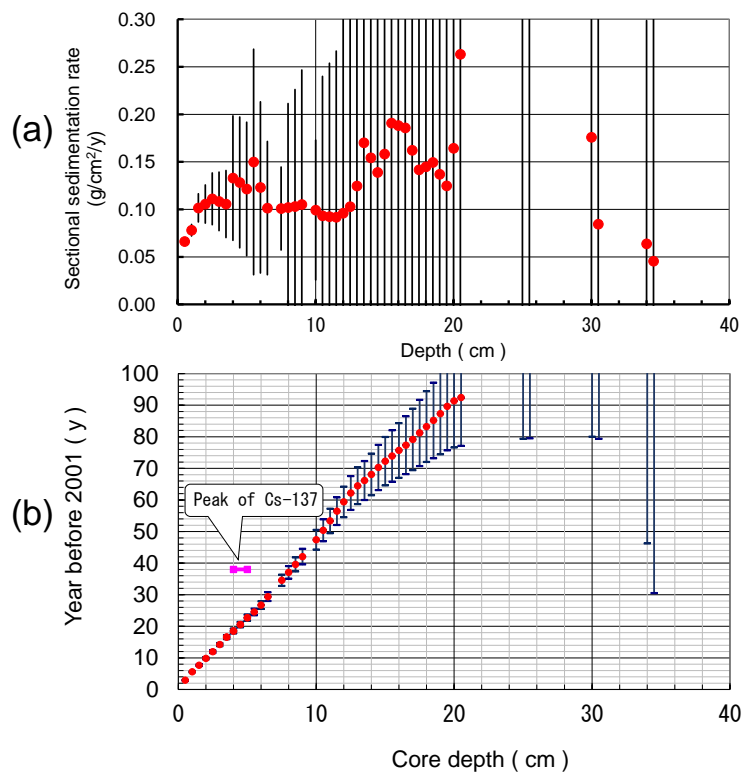
一方、コア B (第 9 図参照) では過剰 Pb-210 濃度の減少傾向に変化の見られる深度 8.5 cm や 15.5 cm 前後ではわずかに増加が見られたが、0.06–0.07 g/cm²/y の速度で堆積が続き、表層部 (0.0–2.0 cm) の濃度低下部分で 0.10 g/cm²/y と高い堆積速度と計算された。含水比変化が見られた表層部、深度 5.5 cm や 12.5 cm などとの関係では、表層部のみが関連が見られた。第 9 図(b) で示した Cs-137 法での 1963 年のピーク位置は、深度と CRS 法による堆積年代との関係図と適合し、良好な結果となった。

CRS モデルによる堆積速度を算出する際に、核種の蓄積量(インベントリー)も計算される(金井, 2000)。第 5 表にはそれも示したが、過剰 Pb-210 に関しては湖心の最深部に近い地点 A が 2.2 Bq/cm² で水深の浅い鞍部頂上部の地点 B が 1.7 Bq/cm² となり、地点 A の方が大きい。Cs-137 もそれぞれ 0.31 Bq/cm² と 0.19 Bq/cm² であり、地点 A の方が大きい。コア A の値は 2014 年時点と対比すると、13 年の時間経過により Cs-137 は減衰して 0.31 Bq/cm² は 0.23 Bq/cm² となり、それに 13 年間の大気からの降下物が追加されるはずであるが、2014 年時点に換算してもコア A の方が大きい。以上のことから、琵琶湖の最深部に近い湖底(地点 A) と湖の鞍部頂上部(地点 B) でのインベントリーを比較すると、水深の深い湖底の方が水深の浅い鞍部頂上部よりも堆積作用は盛んであると結論される。

3.5 堆積環境の変遷

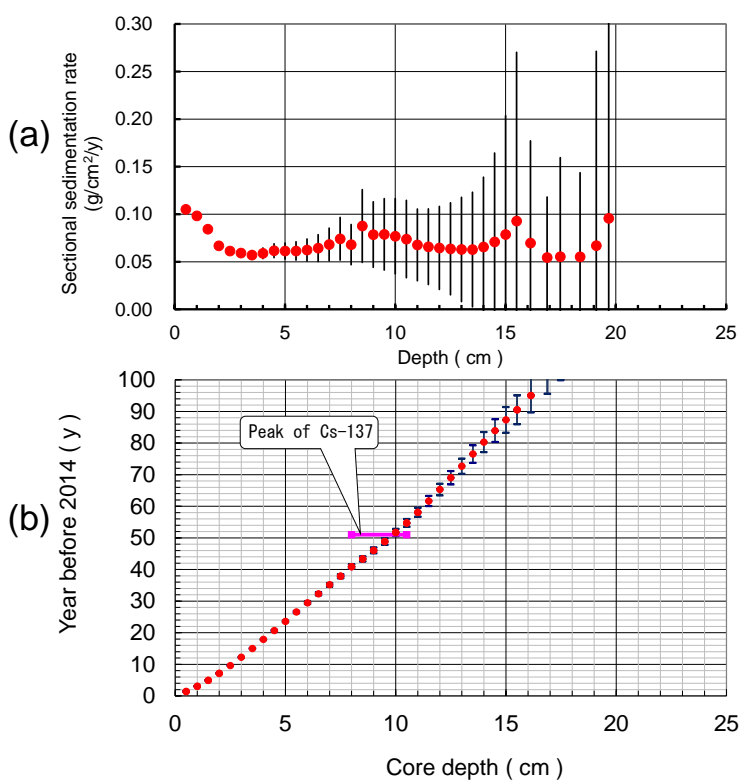
水深の浅い鞍部頂上部で採取したコア B では、Pb-210 法による堆積年代と Cs-137 法による堆積年代が比較的良い一致を見せた(第 9 図(b) 参照)。しかし、琵琶湖の最深部に近い湖底で採取したコア A では食い違いを見せ(第 8 図(b) 参照)、深度約 5 cm までであれば、Pb-210 法での堆積年代と Cs-137 法での堆積年代とで比較的近い値となった(第 5 表参照)。

そこで、コア A では 0.0–5.0 cm, 5.0 cm 以深に分け、Cs-137 法による堆積年代を深度 5.0 cm まで適用し、それぞれ CRS 法で検討した。全過剰 Pb-210 インベントリーを 1.4–1.6 g/cm² と仮定して CRS モデルで計算すると、0.0–5.0 cm の範囲では Cs-137 法による年代とほぼ一致したので、5.0 cm までの計算ではコアの全過剰 Pb-210 インベントリーを 1.5 g/cm² と仮定した。実際の 0.0–5.0 cm 間のインベントリーは、1.1 g/cm² であり、また、コア B に



第8図 コアAにおけるCRSモデルを用いた
(a) 区間別堆積速度及び(b)推定堆積年代.

Fig. 8 (a) Sectional sedimentation rate and (b) estimated sedimentation age of core A calculated by CRS model.



第9図 コアBにおけるCRSモデルを用いた
(a) 区間別堆積速度及び(b)推定堆積年代.

Fig. 9 (a) Sectional sedimentation rate and (b) estimated sedimentation age of core B calculated by CRS model.

おける0.0 cmからCs-137がピークとなる8.0–10.5 cm間でのインベントリーは1.28–1.45 g/cm²であるので、コアAに関して5.0 cmまでの堆積としてはほぼ妥当な状況と考えられる。5.0 cm以深でのCRS法は、5.0 cmを起点として計算した。このようにして修正したモデルの結果を第10図に示した。これによると、年代の古い深部では0.15–0.20 g/cm²/yの大きい堆積速度であったものが1960年代まで0.10 g/cm²/yで定常的に堆積が続き、1960年代から現在まで0.05 g/cm²/y程度で堆積が継続したと計算され、過去ほど堆積速度は大きかったと推定される。なお、第10図(b)にはCICモデルを用いた第5表の区間ごとの平均堆積速度(それぞれ、Line 1: 0.0–5.5 cm; 0.06 g/cm²/y, Line 2: 6.0–12.5 cm; 0.11 g/cm²/y, Line 3: 6.0–15.5 cm; 0.08 g/cm²/y)による年代と深度との関係も示した。Line 1とLine 2は、修正したCRSモデルを用いた年代と深度の関係とよく一致していることがわかる。

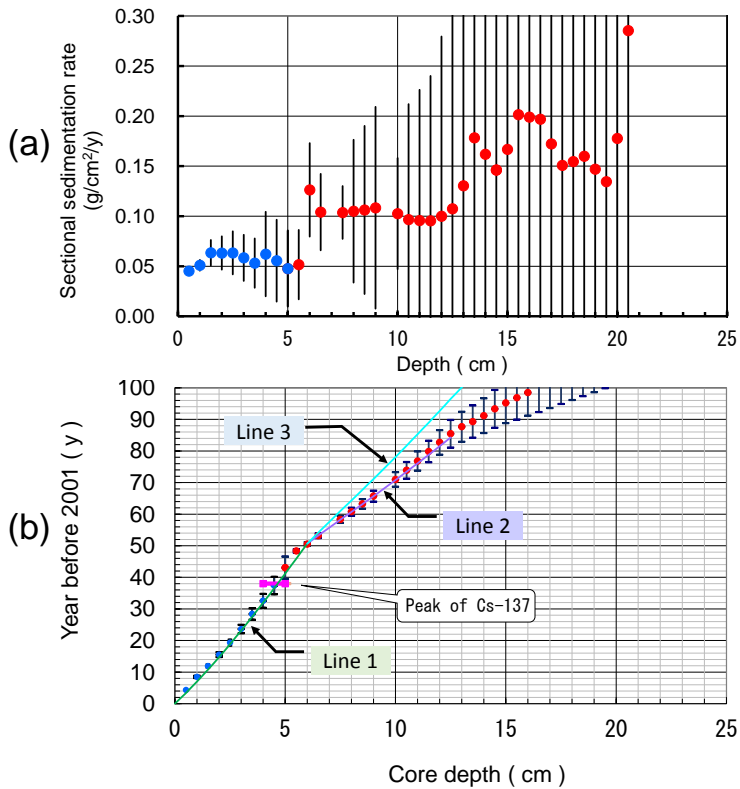
コアAにおける過剰Pb-210の実際の全インベントリー約2.2 g/cm²のうち、0.0–5.0 cmまでの蓄積が1.1 g/cm²となるため、それ以深で約1.1 g/cm²もあることになる。一方、コアBでは全体が約1.7 g/cm²であるのに対し、表層から1963年までのインベントリーが約1.4 g/cm²(1.28–1.45 g/cm²)であるため、それより古い深部の部分でのインベントリーは約0.4 g/cm²以下である。堆積速度が異なるために単純な比較はできないが、両者の1963年までの過剰Pb-210の蓄積量(堆積量)を比較した結果は、地点A(コアA)においては1960年代以前に地点B(コアB)よりも多量の過剰Pb-210が堆積物に供給されていたことを示唆する。

地点Aに関して、過去の堆積速度が大きかった、かつ過剰Pb-210の供給量が多かった理由として、河川の洪水や地震性タービダイトの影響が考えられる。地点Bは沖島と安曇川デルタを結ぶ鞍部(周囲より相対的に比高が高い場所)に位置しているので、地震性タービダイトや洪水堆積物がたまりにくい場所であるのに対し、地点Aは湖底平原に位置しているので、洪水堆積物や地震性タービダイトの影響を受けやすいと考えられる。しかも、地震性タービダイトでは過剰Pb-210含有量の低い古い堆積物では無く、比較的新しい過剰Pb-210含有量の高い堆積物が余分に供給されていたと考えられる。すなわち、過去にこれらの影響でフラックスが今よりも多い時期があった可能性が推察され、年間の過剰Pb-210フラックスが一定であると仮定するCRSモデルと合致しなかった理由も説明できる。

琵琶湖に流入する一級河川は118本ほどあるのに対し、流出する河川は瀬田川の1本にすぎず、琵琶湖周辺ではこれまで洪水による大被害を受けてきた(国土交通省、2015)。1896年の大豪雨では湖水位は3.76 mに達し、浸水面積は約14,800 haに及んだという。1917年の台風による豪雨の時にも、湖水位は1.43 mに上昇して洪水の

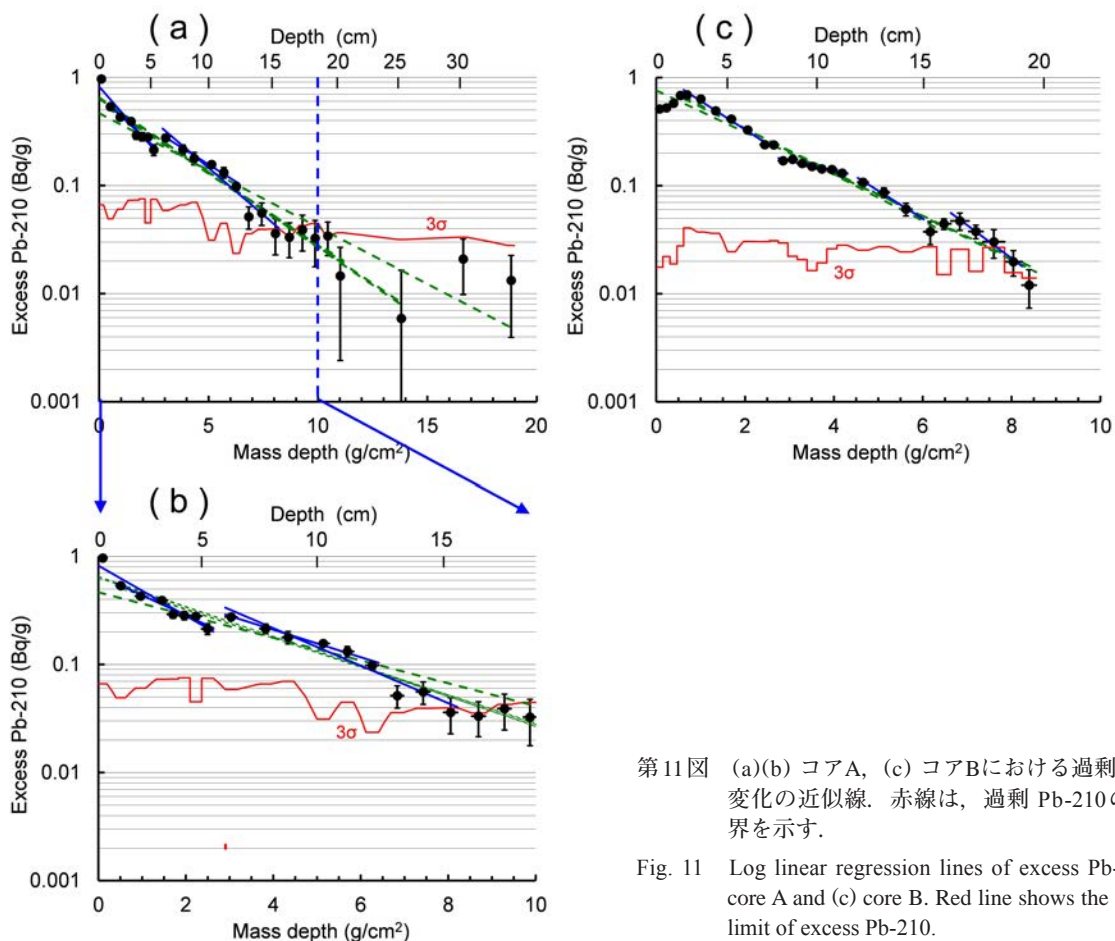
被害をもたらした。1953年の台風被害、1959年の台風7号及び伊勢湾台風以降にも、1961年、1965年と1 m以上の湖水面の上昇が記録されている。その後は、1972年、1982年、1990年、1995年、2014年に起きた台風や豪雨による1 m未満の湖水面上昇や家屋浸水の記録が残されている(国土交通省、2015)。特に1950年代、1960年代は大規模な洪水の多い期間だったと推定され、洪水堆積物の供給などにより沿岸のみならず湖底でも現在よりも堆積量が多かったと推定される。また、湖底に堆積した地震性タービダイトだと上位斜面の表層堆積物が供給されるので、高濃度の過剰Pb-210が供給・堆積したと考えられる。琵琶湖周辺で終戦前後に起こった震度5前後の地震記録で、琵琶湖で地震性タービダイトが堆積した可能性のあるものとしては、1963年の越前岬沖地震(M6.9)、1952年の吉野地震(M6.7)、1948年の福井地震(M7.1)、1944年の東南海地震(M7.9)などが考えられる。更に古くなると、1927年の北丹後地震(M7.3)、1909年の江濃(姉川)地震(M6.8)、1891年の濃尾地震(M8.0)などもある(井内ほか、1993; 気象庁、2016)。このように、最深部に近い地点Aにおいては、1960年代以前に洪水や地震性タービダイトによる影響を受けていたと考えることで、コアにおける放射性核種などの深度分布が説明できる。

また、第5表に示したPb-210法による平均堆積速度の計算に用いた近似直線を、青の直線は短期間の区間の平均速度、緑の破線は全体的な平均速度として、第11図の中に示した。全体を一本の直線で近似した場合に(緑の破線を参照)、直線から外れた部分(濃度低下や変化のほとんどない部分)では、この深度において定常的な堆積が行われずに、堆積物の攪乱や短時間の外来堆積物の供給などが起こっていた可能性が考えられる。外来性の異物質が混入すると含水比に影響が出やすいと考えられるので、含水比と過剰Pb-210の変化を第12図に示した。外来性の堆積物として大きなものは、既に述べた1896年の大豪雨、1917年の台風豪雨、1953年の台風豪雨、1959年の台風7号及び伊勢湾台風、1961年、1965年の豪雨などによる洪水堆積物や地震起因のタービダイトなどが考えられる。コアAでは、約4–5 cmや約14–16 cmで含水比の低下が認められており(第12図(a)参照)、この区間は肉眼観察では確認困難であったが外来性の粗粒堆積物が紛れ込んだ可能性もある。約4–5 cmは平均堆積速度0.06 g/cm²/y(Pb-210法)、0.05–0.06 g/cm²/y(Cs-137法)の平均堆積速度を利用すると、およそ31年前(1970年)から48年前(1953年)にあたり、伊勢湾台風などを含む1950年代・1960年代の豪雨や1952年、1963年の地震に伴うタービダイトに起因する可能性が高い。もう一つの大きな変動を示した約14–16 cmは、補正したCRS法の結果(第10図)から推定すると86年前(1915年)から106年前(1895年)と見積もられ、1896年や1917年の大豪



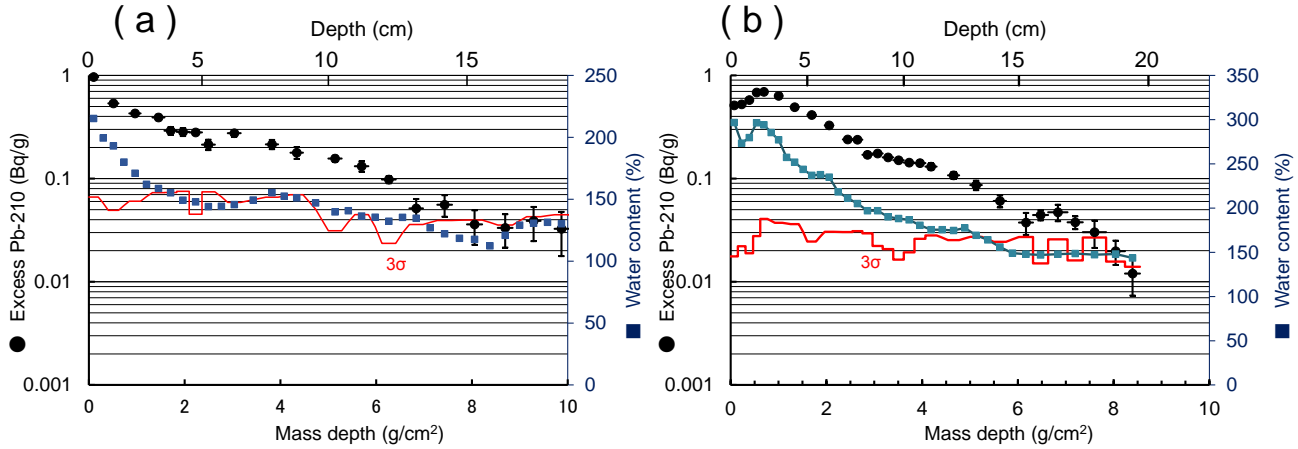
第10図 コアAにおける修正CRSモデルを用いた深度ごとの(a)堆積速度及び(b)堆積年代。青丸は5 cmまでの計算でコアの全過剰 Pb-210 インベントリーを $1.5 \text{ g}/\text{cm}^2$ と仮定したものの、赤丸は5 cmを起點として計算したもの。(b)におけるLine 1, 2, 3は、CICモデルを用いた第5表の区間ごとの平均堆積速度(それぞれ、 $0.0\text{--}5.5 \text{ cm} ; 0.06 \text{ g}/\text{cm}^2/\text{y}$, $6.0\text{--}12.5 \text{ cm} ; 0.11 \text{ g}/\text{cm}^2/\text{y}$, $6.0\text{--}15.5 \text{ cm} ; 0.08 \text{ g}/\text{cm}^2/\text{y}$)による年代。

Fig. 10 (a) Sectional sedimentation rate and (b) sectional sedimentation age of core A calculated by modified CRS model. Blue circles are the results of calculation assuming the total excess Pb-210 as $1.5 \text{ g}/\text{cm}^2$ and red circles are those calculated by assuming 5 cm as starting depth. Lines 1, 2 and 3 indicate the age calculated by the sedimentation rate ($0.0\text{--}5.5 \text{ cm} ; 0.06 \text{ g}/\text{cm}^2/\text{y}$, $6.0\text{--}12.5 \text{ cm} ; 0.11 \text{ g}/\text{cm}^2/\text{y}$, $6.0\text{--}15.5 \text{ cm} ; 0.08 \text{ g}/\text{cm}^2/\text{y}$, respectively) in Table 5 using CIC model.



第11図 (a)(b) コアA, (c) コアBにおける過剰 Pb-210 濃度変化の近似線。赤線は、過剰 Pb-210 の 3σ 検出限界を示す。

Fig. 11 Log linear regression lines of excess Pb-210 in (a)(b) core A and (c) core B. Red line shows the 3σ detection limit of excess Pb-210 .



第12図 (a) コアA, (b) コアBにおける過剰Pb-210と含水比の変化。赤線は、過剰Pb-210の 3σ 検出限界を示す。
Fig. 12 Variations of excess Pb-210 and water content in (a) core A and (b) core B. Red line shows the 3σ detection limit of excess Pb-210.

雨や1891年、1909年の地震によるタービダイトに関連する可能性が高い。太井子・奥田(1989)も、琵琶湖北湖を1984年から1987年にかけて調査し、短期間に起きた堆積異常を1896年の明治大豪雨及び1959年の伊勢湾台風に起因すると推測している。

一方、2014年に採取したコアBでも(第12図(b)参照)、表層の含水率の変動に応じて過剰Pb-210も変動しているが、深度約8 cmと約15 cmを境に過剰Pb-210の傾きに変化が認められる。しかし、含水比は緩やかな低下を見せているものの、深度5.0–6.5 cmや11.0–13.0 cmでの一時的な減少傾向の停滞がある程度で、それほど顕著な変化は見られない。伊勢湾台風は55年前となるが、その時期は 0.06 – $0.07 \text{ g/cm}^2/\text{y}$ (Pb-210法), 0.05 – $0.08 \text{ g/cm}^2/\text{y}$ (Cs-137法)の平均堆積速度を利用すると約8–12 cmの深度に相当するが、伊勢湾台風(1959年)をはじめ、過去に起きた種々の洪水やイベントと放射性核種分布の変動との対応は不明瞭であった。これらのことから、北湖の湖盆が二分された鞍部のほぼ頂上部にあたる地点Bでは、最深部に近い地点Aほど洪水やイベントの影響を受けていなかったと推定される。既に述べたように、地点Bは沖島と安曇川デルタを結ぶ鞍部(周囲より相対的に比高が高い場所)に位置しているで、地震性タービダイトや洪水堆積物がたまりにくく場所であったと考えられる。しかし、コアBでは表層2 cmで深部とは異なる変化を示しており、試料採取時の乱れはなかったことから、その原因として表層での底生生物による攪乱や人工的な混合も可能性の一つと考えられる。単純な混合の場合には過剰Pb-210濃度は一定濃度のパターンになると期待される(金井, 2000)。しかし、過剰Pb-210濃度が表層に向かい減少していることから、表層ほど外来物を含む激しい混合がなされていた可能性が考えられる。

4. まとめ

琵琶湖の底質の調査を2001年と2014年を行い、得られたコアを用いてPb-210法及びCs-137法による堆積速度の測定を行った。一方は北湖の北部の最深部に近い今津沖であり、もう一方は湖盆が二分された鞍部のほぼ頂上部に相当する高島沖のコアである。平均堆積速度は、最深部に近い今津沖コアの方がわずかに大きいものの、約 $0.1 \text{ g/cm}^2/\text{y}$ (0.04 – $0.14 \text{ g/cm}^2/\text{y}$)、 0.1 – 0.3 cm/y の値が得られ、従来琵琶湖で測定された堆積速度の範囲内であった。

最深部に近い今津沖のコアでは、1960年代以前に鞍部頂上部の高島沖のコアよりも多量の過剰Pb-210が供給されていたことが示唆され、洪水堆積物や湖底斜面表層の新しい堆積物が供給され、多くの過剰Pb-210が堆積したと考えられた。これは、1896年、1917年の大豪雨や1950年代、1960年代の大規模な洪水、1891年、1909年の大地震に伴うタービダイトに起因すると考えられる。

一方、鞍部のほぼ頂上部に相当する高島沖で採取したコアの表層部は、含水率やPb-210濃度などに変動が見られ、表層での底生生物による攪乱や人工的な混合なども可能性の一つと考えられた。

謝辞:本研究を行うにあたり、調査にご協力いただいた関係者各位、ならびに原稿を改善するのに有効で貴重なご意見をくださった匿名査読者及び編集委員の板木拓也氏に感謝申し上げる。

文 献

- 青木市太郎・木下泰正(1979) 汚染底質調査のために開発した採泥器. 地質ニュース, **296**, 19–26.
- 藤田恒雄・島村信也・神山享一(2013) 含水率を用いた海底土壤の放射性セシウム濃度標準化の試み(短報). 福島県水産試験場研究報告, **16**, 119–123.
- 早川和秀・横田喜一郎(2004) X.京都大学受託研究事業 琵琶湖および流入河川河口部付近における底質のサンプリング調査と堆積年代の推定. http://www.pref.shiga.lg.jp/d/biwako-kankyo/lberi/03yomu/03-01kankoubutsu/03-01-03research_report/no1/files/16-13.pdf (2015年11月11日 参照)
- 井内美郎(1987) 音探堆積速度算定法—音波探査で求めた琵琶湖の堆積速度—. 地球科学, **41**, 231–234.
- 井内美郎(1990) 琵琶湖泥質粒子の堆積メカニズム. 地質学論集, **36**, 195–208.
- 井内美郎・衣笠善博・公文富士夫・安松貞夫・中野聰志・志岐常正(1993) 古地震の震度指示者としての琵琶湖タービタイト. 地質学論集, **39**, 61–70.
- Kamiyama, K., Okuda, S. and Koyama, M. (1982) Vertical distribution of ^{137}Cs and its accumulation rate in lake sediments. *Japan Journal of Limnology*, **43**, 35–38.
- 金井 豊(1993) 微少量環境試料測定用井戸型Ge検出器の効率特性, *Radioisotopes*, **42**, 169–172.
- 金井 豊(2000) 鉛-210堆積年代測定法とその問題点, 地球化学, **34**, 23–39.
- 金井 豊・井内美郎(2004) 愛媛県西部佐多岬半島の阿弥陀池および亀ヶ池の堆積速度と堆積環境の変遷, 堆積学研究, **58**, 93–103.
- 金井 豊・井内美郎・片山 肇・齋藤文紀(1995) ^{210}Pb , ^{137}Cs 法による長野県諏訪湖底質の堆積速度の見積り, 地調月報, **46**, 225–238.
- 金井 豊・井内美郎・片山 肇・齋藤文紀(1997) 低バッケグラウンド放射能測定システムによる長野県諏訪湖底質の放射能測定と堆積速度の見積り, 地調月報, **48**, 277–295.
- 金井 豊・井内美郎・徳岡隆夫(1998a) 放射性核種を用いた中国Daihai湖およびBlackspring湖の堆積速度測定と堆積環境, 堆積学研究会報, **47**, 55–70.
- 金井 豊・井内美郎・山室真澄・徳岡隆夫(1998b) 島根県宍道湖の底質における堆積速度と堆積環境, 地球化学, **32**, 71–85.
- 金井 豊・井内美郎・徳岡隆夫(2000) ネバールにおける山岳湖の堆積速度と堆積環境, 地調月報, **51**, 175–187.
- 金井 豊・山室真澄・井内美郎・徳岡隆夫(2002) 島根・鳥取県中海における堆積速度と堆積環境, 地球化学, **36**, 161–178.

- 気象庁(2016) 過去の地震津波災害 ★明治以降1995年までに、我が国で100人以上の死者・行方不明者を出した地震・津波. <http://www.data.jma.go.jp/svd/eqev/data/higai/higai-1995.html> (2016年1月20日 参照)
- 国土地理院(2015) 国土地理院の湖沼湿原調査. <http://www1.gsi.go.jp/geowww/lake/jisshizumikoshou.html> (2015年11月11日 参照)
- 国土交通省(2015) 琵琶湖の洪水の歴史. 国土交通省近畿地方整備局 琵琶湖河川事務所, <http://www.kkr.mlit.go.jp/biwako/biwako/rekishi/index.html> (2015年11月11日 参照)
- 松本英二(1975) ^{210}Pb 法による琵琶湖湖底泥の堆積速度. 地質学雑誌, **81**, 301–306.
- Meade, R. H. (1966) Factors influencing the early stages of the compaction of clays and sands – review. *J. Sed. Petrology*, **36**, 1085–1101.
- 南 雅代・小田寛貴・小島貞男・横田喜一郎・中村俊夫(2002) 琵琶湖南湖の湖底堆積物のSr同位体比. 名古屋大学加速器質量分析計業績報告書13, 71–81.
- 文部科学省(2012) 平成24年6月8日 文部科学省による、近畿地方の航空機モニタリングの測定結果について. http://radioactivity.nsr.go.jp/ja/contents/6000/5445/24/203_0608Kin.pdf (2016年1月20日 参照)
- 中村俊夫・中井信之・木村雅也・小島貞男・前田広人(1986) 琵琶湖底堆積物中の放射性核種分布. 堆積物研究会報, XXV号, 1–14.
- Nishimura, S. and Yokoyama, T. (1973) Fission-track ages of volcanic ashes in 200 m core sample of Lake Biwa, Japan. *Proceedings of the Japan Academy*, **49**, 615–618.
- 太井子和宏・奥田節夫(1989) 琵琶湖湖底表層における堆積速度の見積もりと堆積層の異常. 京都大学防災研究所年報, **32 B-1**, 259–278.
- 佐野 栄・井内美郎・金井 豊・丸岡範子(2000) 濱戸内海表層堆積物の地球化学的特徴その1.安芸灘表層堆積物, 愛媛大学教育学部紀要第III部自然科学, **20**, 1–9.
- Taishi, H., Yamamoto, A. and Kanari, S. (1986) Age-scaling for the uppermost clayey layer in the 1,400 m-core sample from Lake Biwa -a preliminary study-. *Japan Journal of Limnology*, **47**, 101–108.
- 横田喜一郎・山本政儀(1999) 天然放射性核種(PB-210)による堆積履歴の解説. 琵琶湖研究所所報, **16**, 53–57.

(受付: 2016年1月26日; 受理: 2016年7月5日)

Jurassic radiolarians from the Ichinohe–Kunohe area (Iwate Prefecture) in the North Kitakami Belt, Japan

Satoshi Nakae^{1,*}

Satoshi Nakae (2016) Jurassic radiolarians from the Ichinohe–Kunohe area (Iwate Prefecture) in the North Kitakami Belt, Japan. *Bull. Geol. Surv. Japan*, vol. 67 (3), p. 81–100, 4 figs, 2 tables, 3 plates.

Abstract: The North Kitakami Belt in Northeast Japan, occupying a northeastern region of Iwate Prefecture, is chiefly underlain by a sedimentary complex consisting of various rock-types such as basalt, limestone, chert, mudstone and sandstone. These rocks in the studied Ichinohe–Kunohe area in the North Kitakami Belt were explored for their radiolarian content and seven mudstone samples yielded poorly-preserved radiolarian faunas with a dominance of Nassellaria over Spumellaria, as a result. The description and faunal analysis of these radiolarians revealed that the mudstone in this area indicates a long range in age from the Toarcian to the Kimmeridgian.

Keywords: radiolaria, Jurassic, North Kitakami Belt, Ichinohe, Kunohe, Karumai, Iwate Prefecture, Japan

1. Introduction

The North Kitakami Belt in Northeast Japan, subdivided into the Akka–Tanohata and the Kuzumaki–Kamaishi subbelts, is widely underlain by a sedimentary complex. In general, this complex consists of a matrix of middle to late Jurassic terrigenous clastic rock, and fragments of Carboniferous to Permian basalt and limestone of seamount origin and Carboniferous to middle Jurassic pelagic chert (Okami and Ehiro, 1988; Minoura, 1990; Ehiro *et al.*, 2008). Due to a spate of reports on Aalenian to Tithonian radiolarian fossils from mudstone (Matsuoka, 1987; Matsuoka and Oji, 1990; Yoshihara *et al.*, 2002; Nakae and Kamada, 2003), it has been thought that the complex in the North Kitakami Belt formed along the subduction zone during the middle to late Jurassic Period. These reported fossil localities are distributed widely in this belt, but sparsely. For this reason, more fossil evidence is required to constrain detailed ages of the complex in this belt.

2. Geological setting

The studied Ichinohe–Kunohe area is located at a northeastern region of Iwate Prefecture and includes the boundary fault (Iwaizumi Tectonic Line or Seki–Ōdaita fault) between the two subbelts (Akka–Tanohata and Kuzumaki–Kamaishi) of the NNW–SSE trending North Kitakami Belt (Fig. 1a). According to previous works (Okami and Murata, 1974; Sugimoto, 1974), the

sedimentary complex around this area has stratigraphically been divided into the Sawayamagawa, Akka, Takayashiki, Seki, Kassenba, Ōtori and Kuzumaki formations, arranging in ascending order. And it is also intruded by Cretaceous granitic rocks and unconformably overlain by Neogene volcano-sedimentary sequences and Quaternary terrace deposits (Kamada *et al.*, 1991). Most recently, Takahashi *et al.* (2016) re-examined and revised the Sugimoto's division on the basis of the genesis relations of lithology such as a basalt-limestone complex of seamount origin (Akka unit), a mélange complex (Takayashiki unit), and oceanic plate stratigraphic successions (Seki and Otori units). In this report, nevertheless, the classic stratigraphic division of the sedimentary complex by Sugimoto (1974) is adopted (Fig. 1b), and three formations of this complex are focused on in terms of the radiolarian age determination.

The Seki and overlying Kassenba formations demonstrate a unique sequence commonly called “Oceanic Plate Stratigraphy” (Isozaki *et al.*, 1990), which generally consists of basalt of seamount origin, pelagic chert and clastic sedimentary rock such as mudstone and sandstone with minor amounts of siliceous mudstone and felsic tuff. The major difference between the two formations is a quantity of coarse-grained clastic rock; sandstone is rich in the Kassenba Formation whereas lack in the Seki Formation. On the other hand, the Kuzumaki Formation is characterized by the mixed nature of various lithologies; blocks of basalt, limestone, chert, siliceous mudstone and sandstone are enveloped within foliated or sheared mudstone matrix.

¹ AIST, Geological Survey of Japan, Research Institute of Geology and GeoInformation

*Corresponding author: S.Nakae, Central 7, 1-1-1 Higashi, Tsukuba, Ibaraki 305-8567, Japan. Email: nakae-satoshi@aist.go.jp

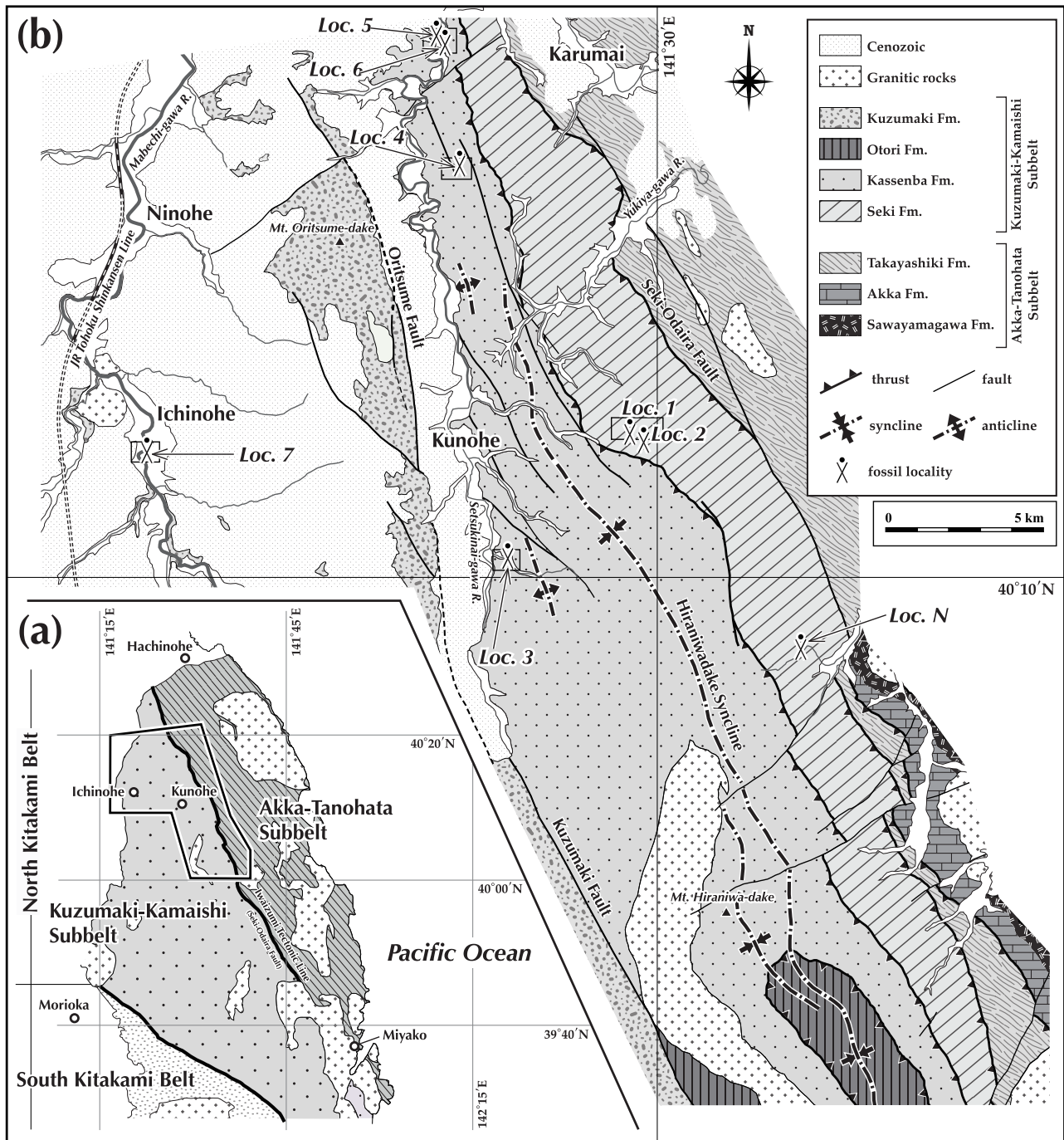


Fig. 1 Geological map of the Ichinohe–Kunohe area in the North Kitakami Belt.

(a) The North Kitakami Belt is located along the Pacific Ocean side of Northeast Japan, and is divided into the Akka–Tanohata and Kuzumaki–Kamaishi subbelts. The Ichinohe–Kunohe area (Iwate Prefecture) is situated in a northern part of the North Kitakami Belt. (b) A simplified geological map of the Ichinohe–Kunohe area. Loc. N is the radiolarian locality reported by Nakae and Kamada (2003). Detailed radiolarian localities with symbols are given in Fig. 2.

3. Materials and method

This study is concerned with an analysis of several radiolarian faunal recovered from rock samples including five siliceous mudstones and two mudstones within the Ichinohe–Kunohe area in the North Kitakami Belt. The samples were undertaken using an usual technique for radiolarian extraction; briefly, the rock samples were individually soaked in dilute hydrofluoric acid (HF) solution (5%) for 10 to 15 hours, before being washed through a 62 µm mesh sieve (235#). As a result, age-diagnostic, but poorly-preserved, radiolarians representative of middle to late Jurassic Period were recovered. The residues of each processed sample were then examined under a stereomicroscope, and radiolarian remains were selected for examination by scanning electronic microscope (SEM).

4. Locality description and samples

Radiolarian localities (Locs. 1–7) are shown in Figs. 1b and 2. Massive and bedded siliceous mudstones of the Seki Formation are respectively exposed at Locs. 1 and 2 (Fig. 2a; Fig. 3a, b), and slightly better preserved radiolarian remains are visible in thin sections (Fig. 4a, b). Locs. 3, 4, 5 and 6 are included in the Kassenba Formation (Fig. 2b, c, d). Bedded siliceous mudstones are exposed at Loc. 3 (Fig. 3c), Loc. 5 (Fig. 3e) and Loc. 6, whereas slaty mudstone is distributed at Loc. 4 (Fig. 3d), and radiolarian remains are also recognized in thin sections (Fig. 4c, d, e). The outcrop at Loc. 7 (Fig. 2e) belonging to the Kuzumaki Formation is composed of mudstone which is partially foliated and intercalated with sandy broken beds (Fig. 3f). Radiolarian remains in this rock sample (Fig. 4f) are not so dominant in comparison with the others.

5. Radiolarian fauna

Identified species detected from the rock samples are listed in Table 1 and given on Plates 1, 2 and 3. Below is a description of a radiolarian fauna of each locality.

(1) Locality 1 (Fig. 2a)

Location: Southeast of Koyukiya, Kunohe Village.
(lat. 40°12'39.0" N; long. 141°29'19.6" E)

Sample number: ICH 07-02.

Horizon: Seki Formation.

Lithology: Pale to dark gray, massive, siliceous mudstone.
Fauna: *Striatojaponocapsa plicarum* (Yao), *Striatojaponocapsa* sp. cf. *S. plicarum* (Yao), *Striatojaponocapsa* sp. cf. *S. synconexa* O'Dogherty, Goricăn and Dumitrică, *Theocapsomella* sp. cf. *T. costata* (Chiari, Marcucci and Prela), *Natoba* (?) sp., *Eucyrtidiellum* sp. cf. *E. pustulatum* Baumgartner, *Eucyrtidiellum* sp. cf. *E. unumaense* (Yao), *Guexella* (?) spp., *Transhsuum* sp. cf. *T. maxwelli* gr. (Pessagno), *Archaeodictyomitra* sp., *Spongocapsula*

krahsteinensis Suzuki and Gawlick, *Parvingula cappa* Cortese, *Tethysetta* spp., *Lantus* sp. (Plate 1).

Age: Early–middle Bathonian.

(2) Locality 2 (Fig. 2a)

Location: Southeast of Koyukiya, Kunohe Village.
(lat. 40°12'36.3" N; long. 141°29'33.3" E)

Sample number: ICH 07-03.

Horizon: Seki Formation.

Lithology: Pale gray, weakly bedded, siliceous mudstone.
Fauna: *Williriedellum* sp., *Zhamoidellum* spp., *Hiscocapsa* spp., *Theocapsomella* (?) sp., *Eucyrtidiellum* sp. cf. *E. pustulatum* Baumgartner, *Eucyrtidiellum* *ptyctum* (Riedel and Sanfilippo), *Eucyrtidiellum* *nodosum* Wakita, *Eucyrtidiellum* spp., *Stichomitra* (?) sp., *Transhsuum brevicostatum* gr. (Ožvoldová), *Transhsuum* sp. cf. *T. brevicostatum* gr. (Ožvoldová), *Transhsuum* *maxwelli* gr. (Pessagno), *Archaeodictyomitra* *prisca* Kozur and Mostler, *Archaeodictyomitra* *whalenae* Kozur and Mostler, *Archaeodictyomitra* sp. cf. *A. apiarium* (Rüst), *Archaeodictyomitra* spp., *Cinguloturris* (?) spp., *Tethysetta* sp. cf. *T. mashitaensis* (Mizutani), *Triversus* (?) sp. (Plate 2).

Age: Middle Bathonian–late Kimmeridgian, probably early Kimmeridgian.

(3) Locality 3 (Fig. 2b)

Location: Shimo-sawanai, Kunohe Village.
(lat. 40°10'32.0" N; long. 141°26'19.3" E)

Sample number: ICH 01-05.

Horizon: Kassenba Formation.

Lithology: Light gray, bedded, siliceous mudstone.
Fauna: *Guexella* (?) sp., *Nassellaria* gen. et sp. indet. (Plate 3)

Age: Probably late Bajocian–early Oxfordian.

(4) Locality 4 (Fig. 2c)

Location: East of Araida, Karumai Town.
(lat. 40°17'35.9" N; long. 141°25'13.7" E)

Sample number: ICH 21-03.

Horizon: Kassenba Formation.

Lithology: Gray, slaty mudstone.

Fauna: *Williriedellum* (?) sp., *Zhamoidellum* (?) sp., *Eucyrtidiellum* spp., *Transhsuum* (?) sp., *Nassellaria* gen. et sp. indet. (Plate 3).

Age: Probably late Aalenian–late Kimmeridgian.

(5) Locality 5 (Fig. 2d)

Location: Hayato, Karumai Town.
(lat. 40°19'35.4" N; long. 141°24'50.0" E)

Sample number: ICH 23-03.

Horizon: Kassenba Formation.

Lithology: Light gray, bedded, siliceous mudstone.
Fauna: *Nassellaria* gen. et sp. indet. (Plate 3).

Age: Unknown.

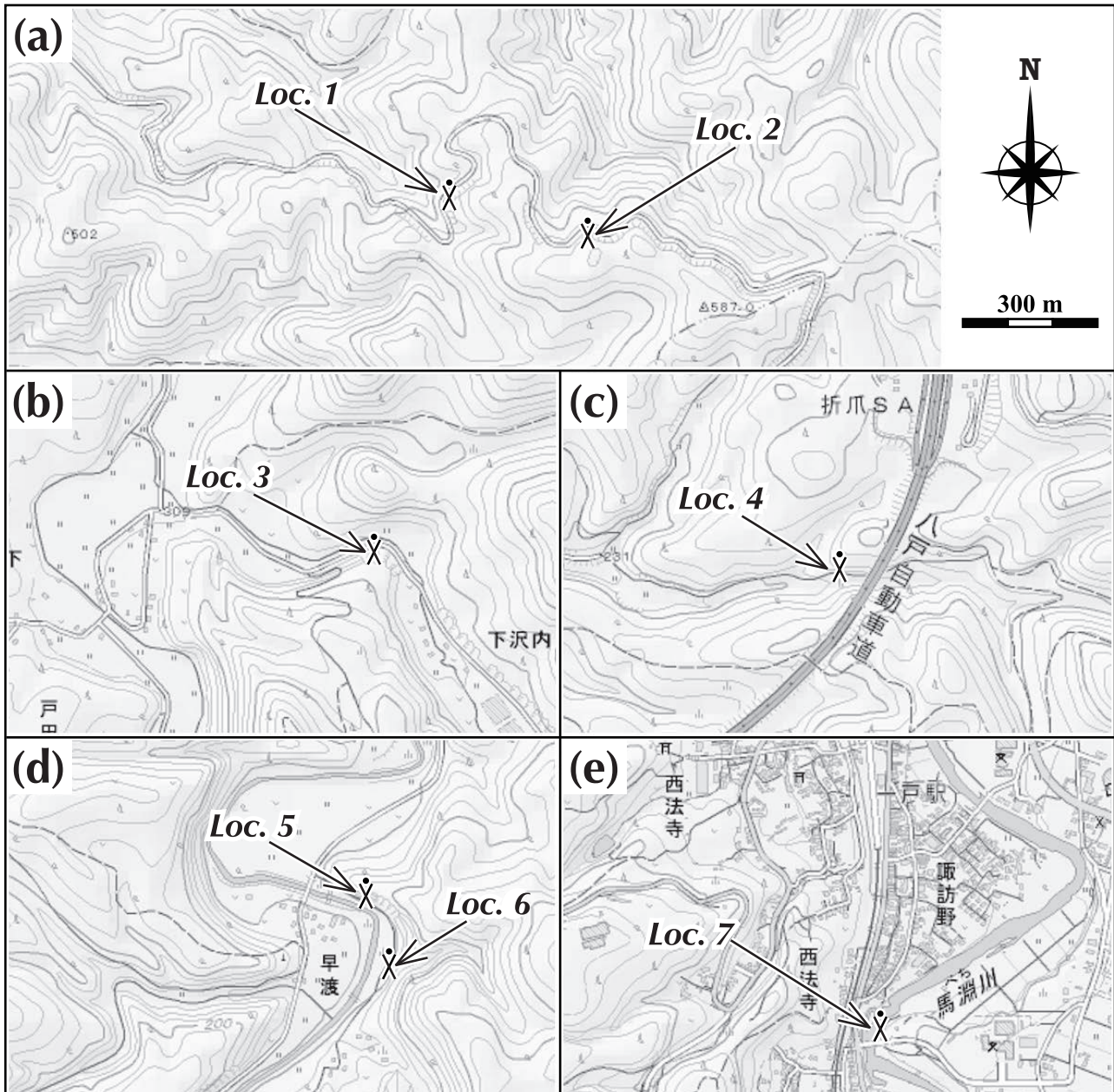


Fig. 2 Localities of mudstone samples yielding Jurassic radiolarians.

Topographic maps are downloaded from the website of Geospatial Information Authority of Japan. URL of each map is as follows; (a) <http://maps.gsi.go.jp/#16/40.209835/141.494669/&base=std&ls=std&disp=1&vs=c1j0l0u0f0>, (b) <http://maps.gsi.go.jp/#16/40.175414/141.438514/&base=std&ls=std&disp=1&vs=c1j0l0u0f0>, (c) <http://maps.gsi.go.jp/#16/40.293578/141.418236/&base=std&ls=std&disp=1&vs=c1j0l0u0f0>, (d) <http://maps.gsi.go.jp/#16/40.325952/141.413087/&base=std&ls=std&isp=1&vs=c1j0l0u0f0>, and (e) <http://maps.gsi.go.jp/#16/40.207500/141.297623/&base=std&ls=std&disp=1&vs=c1j0l0u0f0>

(6) Locality 6 (Fig. 2d)

Location: Hayato, Karumai Town.
(lat. 40°19'31.3" N; long. 141°24'50.6" E)

Sample number: ICH 23-04.

Horizon: Kassenba Formation.

Lithology: Light gray, bedded, siliceous mudstone.

Fauna: Angulobrachiidae gen. et sp. indet. (Plate 3).

Age: Unknown.

(7) Locality 7 (Fig. 2e)

Location: Suwano, Ichinohe Town.
(lat. 40°12'18.5" N; long. 141°17'51.1" E)

Sample number: ICH 56-01.

Horizon: Kuzumaki Formation.

Lithology: Dark gray, mudstone.

Fauna: *Eucyrtidiellum* (?) sp., *Unuma* (?) sp., Nassellaria gen. et sp. indet. (Plate 3).

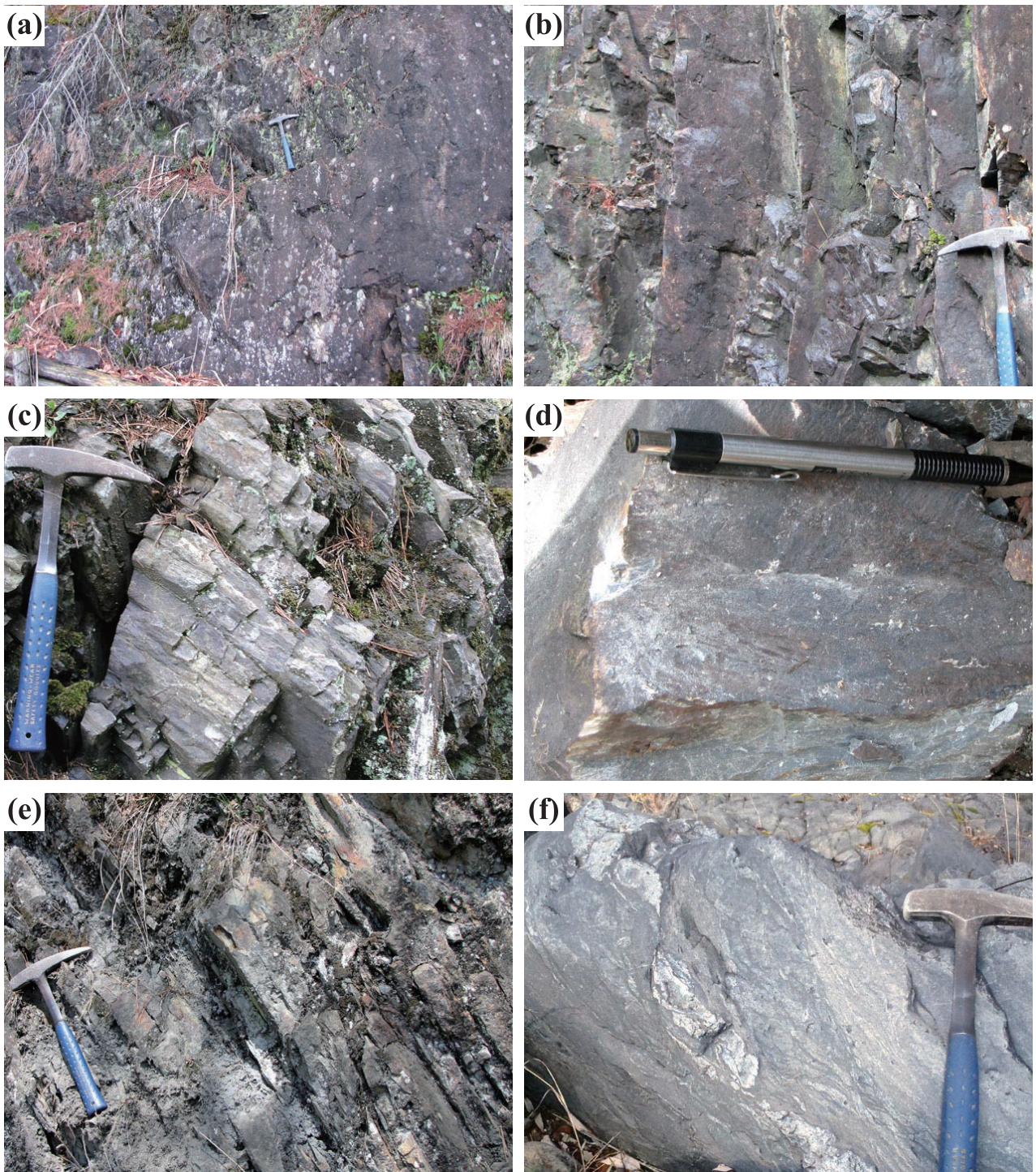


Fig. 3 Mudstone outcrops at radiolarian localities.

(a)–(b) Siliceous mudstone of the Seki Formation, southeast of Koyukiya (a: Locality 1, b: Locality 2). (c) Siliceous mudstone of the Kassenba Formation, at Shimo-sawanai (Locality 3). (d) Mudstone of the Kassenba Formation, east of Araida (Locality 4). (e) Siliceous mudstone of the Kassenba Formation at Hayato (Locality 5). (f) Mudstone of the Kuzumaki Formation at Suwano (Locality 7).

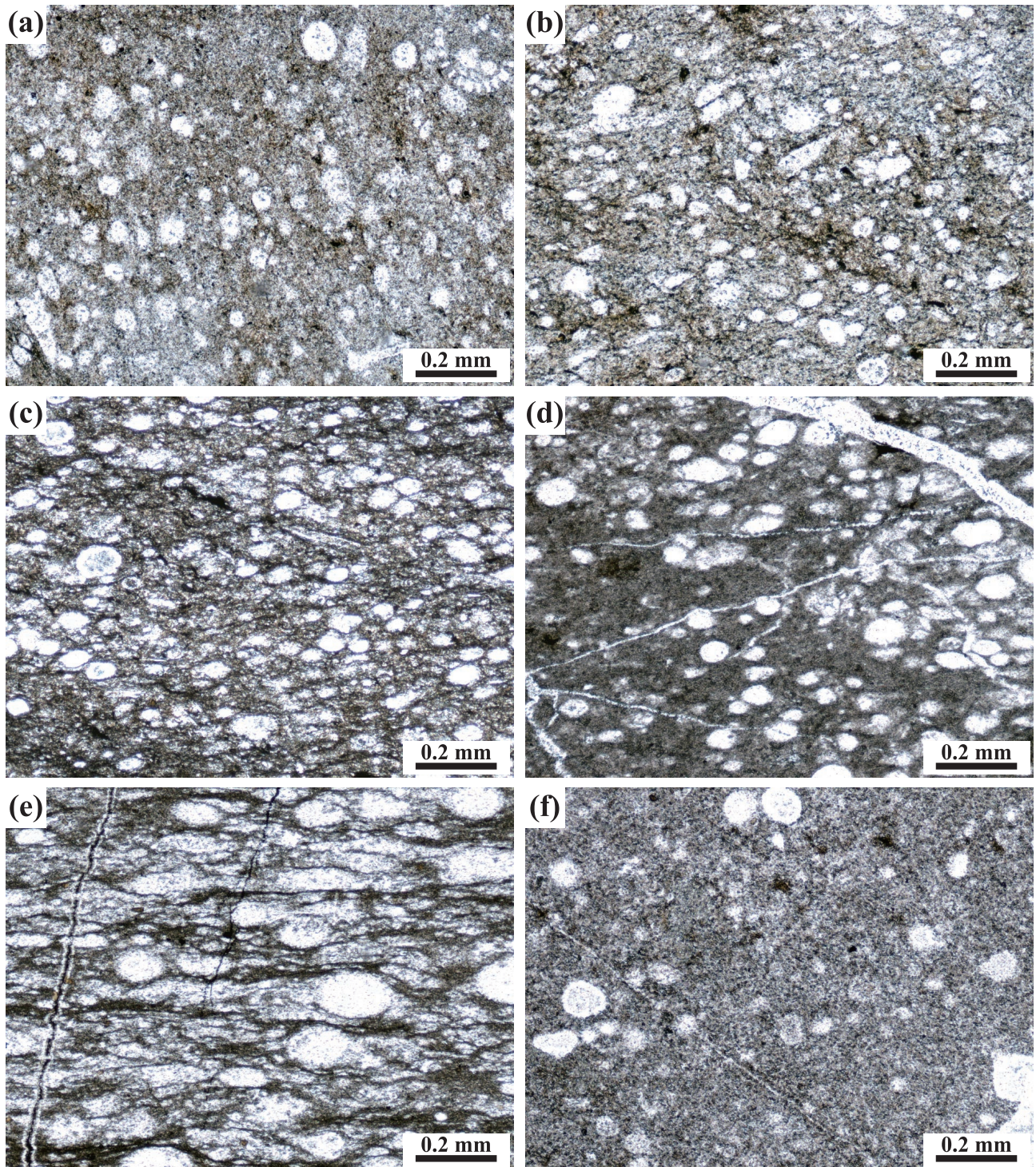


Fig. 4 Microphotographs of the thin sections.

(a)–(b) Siliceous mudstone of the Seki Formation (a: Locality 1, b: Locality 2). (c) Mudstone of the Kassenba Formation (c: Locality 4). (d)–(e) Siliceous mudstone of the Kassenba Formation (d: Locality 5, e: Locality 6). (f) Mudstone of the Kuzumaki Formation (Locality 7). Under the microscope, all these mudstones are dotted with radiolarian remains which are white in color and oval or triangular in shape.

Table 1 List of radiolarian species detected from the Ichinohe–Kunohe area in the North Kitakami Belt.

Locality Number (Loc.)	1	2	3	4	5	6	7
Sample Number	ICH 07-02	ICH 07-03	ICH 01-05	ICH 21-03	ICH 23-03	ICH 23-04	ICH 56-01
Horizon (Formation)	Seki		Kassenba		Kz		
<i>Williriedellum</i> sp.		+					
<i>Williriedellum</i> (?) sp.				+			
<i>Zhamoidellum</i> spp.			+				
<i>Zhamoidellum</i> (?) sp.				+			
<i>Hiscocapsa</i> spp.		+					
<i>Striatojaponocapsa plicarum</i> (Yao)		+					
<i>Striatojaponocapsa</i> sp. cf. <i>S. plicarum</i> (Yao)		+					
<i>Striatojaponocapsa</i> sp. cf. <i>S. synconexa</i> O'Dogherty, Goričan and Dumitrica		+					
<i>Theocapsomella</i> sp. cf. <i>T. costata</i> (Chiari, Marcucci and Prela)		+					
<i>Theocapsomella</i> (?) sp.			+				
<i>Natoba</i> (?) sp.		+					
<i>Eucyrtidiellum</i> sp. cf. <i>E. pustulatum</i> Baumgartner		+	+				
<i>Eucyrtidiellum</i> sp. cf. <i>E. unumaense</i> (Yao)		+					
<i>Eucyrtidiellum ptyctum</i> (Riedel and Sanfilippo)			+				
<i>Eucyrtidiellum nodosum</i> Wakita			+				
<i>Eucyrtidiellum</i> spp.		+		+			
<i>Eucyrtidiellum</i> (?) sp.							+
<i>Guexella</i> (?) spp.	+		+				
<i>Stichomitra</i> (?) sp.		+					
<i>Transhsuum brevicostatum</i> gr. (Ožvoldová)			+				
<i>Transhsuum</i> sp. cf. <i>T. brevicostatum</i> gr. (Ožvoldová)			+				
<i>Transhsuum maxwelli</i> gr. (Pessagno)			+				
<i>Transhsuum</i> sp. cf. <i>T. maxwelli</i> gr. (Pessagno)			+				
<i>Transhsuum</i> (?) sp.					+		
<i>Archaeodictyomitria prisca</i> Kozur and Mostler			+				
<i>Archaeodictyomitria whalenae</i> Kozur and Mostler			+				
<i>Archaeodictyomitria</i> sp. cf. <i>A. apiarium</i> (Rüst)			+				
<i>Archaeodictyomitria</i> spp.			+	+			
<i>Unuma</i> (?) sp.							+
<i>Spongocapsula krahsteinensis</i> Suzuki and Gawlick		+					
<i>Cinguloturris</i> (?) spp.			+				
<i>Parvingula cappa</i> Cortese		+					
<i>Tethysetta</i> sp. cf. <i>T. mashitaensis</i> (Mizutani)			+				
<i>Tethysetta</i> spp.		+					
<i>Triversus</i> (?) sp.			+				
<i>Lantus</i> sp.		+					
<i>Angulobracciidae</i> gen. et sp. indet.						+	
<i>Nassellaria</i> gen. et sp. indet.				+	+	+	+

Kz: Kuzumaki

Age: Probably early Toarcian–late Bathonian.

6. Age assignment discussion

In order to determine the age of the radiolarian faunas extracted from the mudstone samples in the Ichinohe–Kunohe area, the zonation schemes proposed by Baumgartner *et al.* (1995) and Matsuoka (1995a) for the middle to late Jurassic Period are primarily applicable; Unitary Association Zone (UAZone) assignments of Baumgartner *et al.* (1995) are adopted for the biostratigraphic ranges of the extracted radiolarian species, and further the ranges of radiolarian genera that were recently extensively analyzed by O’Dogherty *et al.* (2009) are used in this study (Table 2).

The above two zonations can be compared to each other (e.g., the base of UAZone 4 of Baumgartner *et al.* (1995) and JR4 (*Striatojaponocapsa plicarum* Zone) of Matsuoka (1995a) are defined by the first appearance biohorizon of the same species), but it is well known that a certain amount of difference in age has emerged between these zones. Therefore in this report, the ages of UAZones are recalculated on the basis of the dataset of Matsuoka (1995a).

(1) ICH07-02 (Loc. 1)

This siliceous mudstone sample of the Seki Formation yielded a radiolarian fauna (Plate 1), whose preservation is slightly better than the others. Among Nassellaria, *Striatojaponocapsa* and *Eucyrtidiellum* are the most abundant genera, and minor amounts of *Transhsuum*, *Archaeodictyomitria*, *Spongocapsula*, *Tethysetta* and others are also included. Most of these genera have a wide biostratigraphic range from Pliensbachian to Tithonian or to much younger stage (Table 2; O’Dogherty *et al.*, 2009).

According to Baumgartner *et al.* (1995), the occurrence of *Striatojaponocapsa plicarum* in this sample allows its assignment to UAZones 4–5, which corresponds to JR4–JR5 (*Striatojaponocapsa plicarum* Zone and *Striatojaponocapsa conexa* Zone: lower Bajocian to lower Callovian) of Matsuoka (1995a). On the other hand, Matsuoka and Yao (1986) defined the base of JR4 (*Tricolocapsa plicarum* Zone) of Matsuoka (1983) by the first appearance biohorizon (FAB) of *Striatojaponocapsa plicarum*. Later Matsuoka (1995b) also mentioned that this FAB should be set between UAZone 3 and UAZone 4, being correlated to the Aalenian/Bajocian boundary.

Several specimens being quite similar to *Striatojaponocapsa synconexa* were detected from this sample. O’Dogherty *et al.* (2005) discussed on the range of *Striatojaponocapsa synconexa* based on the recalculation by Savary and Guex (1999), and summarized that its FAB is situated just above the last appearance biohorizon (LAB) of *Striatojaponocapsa plicarum* and slightly below the FAB of *Striatojaponocapsa conexa*. This biohorizon (FAB of *Striatojaponocapsa synconexa*) therefore is settled within lower Bathonian. Furthermore, Hatakeyama

et al. (2007) revealed that the morphological change from *Striatojaponocapsa plicarum* to *Striatojaponocapsa conexa* through *Striatojaponocapsa synconexa* was continuously and gradually occurred during a relatively short range (lower–middle Bathonian) across the boundary between the *Striatojaponocapsa plicarum* and *Striatojaponocapsa conexa* Zones. On the basis of the co-existence of these two species, it is reasonable that this sample is assigned to lower to middle Bathonian.

Eucyrtidiellum sp. cf. *E. pustulatum*, *Eucyrtidiellum* sp. cf. *E. unumaense* and *Transhsuum* sp. cf. *T. maxwelli* gr. were also found in this sample. Although these species existed in a long range from UAZone 3 to UAZone 10, their co-occurrence can be restricted to UAZones 5–8 (middle Bathonian to lower Kimmeridgian). This age assignment is concordant to those determined by the co-occurrence of *Striatojaponocapsa plicarum* and *Striatojaponocapsa* sp. cf. *S. synconexa*.

(2) ICH07-03 (Loc. 2)

This sample of siliceous mudstone collected from the Seki Formation contains a relatively poorly-preserved radiolarian fauna whose diversity is slightly higher than the others (Plate 2). Within the fauna, *Eucyrtidiellum*, *Transhsuum* and *Archaeodictyomitria* are the most abundant genera, and minor amounts of *Williriedellum*, *Zhamoidellum*, *Hiscocapsa* and *Tethysetta* are also recognized. According to O’Dogherty *et al.* (2009), these genera existed together within a range from upper Bathonian to upper Kimmeridgian whereas each genus has a much wider range from Pliensbachian to middle Cretaceous (Table 2).

Among the obtained specimens, *Eucyrtidiellum ptyctum*, *Eucyrtidiellum nodosum*, *Transhsuum brevicostatum* gr., *Transhsuum maxwelli* gr., *Archaeodictyomitria prisca*, and *Archaeodictyomitria whalae* are identified at a species level, and some of them are stated to display following biostratigraphic ranges (Baumgartner *et al.*, 1995); *Eucyrtidiellum ptyctum* (UAZones 5–11), *Eucyrtidiellum nodosum* (UAZones 3–10), *Transhsuum brevicostatum* gr. (UAZones 3–11), and *Transhsuum maxwelli* gr. (UAZones 3–10), respectively. Based on this, the range of their co-occurrence is assigned to UAZones 5–10 (middle Bathonian–upper Kimmeridgian).

In addition to the above, *Eucyrtidiellum pustulatum* (UAZones 5–8), *Archaeodictyomitria apiarium* (UAZones 8–22) and *Tethysetta mashitaensis* (UAZones 8–15) were found in this sample, although there remains slightly doubtful whether these species can be definitely identified. This evidence provides a possible biostratigraphic range (UAZone 8: lower Kimmeridgian) to the co-occurrence of these species.

Consequently, a reasonable range of this fauna is probably restricted to lower Kimmeridgian, or at least middle Bathonian–upper Kimmeridgian.

Table 2 List of radiolarian genera and their biostratigraphic ranges from O'Dogherty *et al.* (2009).

Genus	Range
<i>Williriedellum</i>	upper Aalenian — lower Aptian
<i>Zhamoidellum</i>	lower Pliensbachian — upper Barremian
<i>Hischocapsa</i>	upper Bathonian — middle Albian
<i>Striatojaponocapsa</i>	lower Bajocian — upper Callovian
<i>Theocapsomella</i>	lower Bathonian — lower Berriasian
<i>Natoba</i>	lower Pliensbachian — lower Toarcian
<i>Eucyrtidiellum</i>	lower Pliensbachian — upper Tithonian
<i>Guexella</i>	upper Bajocian — lower Oxfordian
<i>Transhsuum</i>	lower Pliensbachian — upper Kimmeridgian
<i>Archaeodictyomitra</i>	lower Pliensbachian — upper Campanian
<i>Unuma</i>	lower Toarcian — upper Bathonian
<i>Spongocapsula</i>	upper Bajocian — lower Campanian
<i>Cinguloturris</i>	upper Bathonian — lower Valanginian
<i>Parvicingula</i>	upper Bathonian — upper Hauterivian
<i>Tethysetta</i>	lower Bajocian — lower Aptian
<i>Triversus</i>	upper Pliensbachian — upper Bathonian
<i>Lantus</i>	lower Pliensbachian — lower Kimmeridgian

(3) ICH01-05 (Loc. 3)

Only two radiolarian remains, which are poorly-preserved, were found in the sample of siliceous mudstone from the Kassenba Formation; one is *Guexella* (?) sp. and the other is an unidentified species of Nassellaria (Plate 3). Because of the rare radiolarian occurrence, it is quite difficult to determine the age of this fauna. The range of genus *Guexella* is stated as upper Bajocian–lower Oxfordian (Table 2); therefore this fauna is probably assigned to the similar age.

(4) ICH21-03 (Loc. 4)

Poorly-preserved radiolarians such as *Williriedellum* (?) sp., *Zhamoidellum* (?) sp., *Eucyrtidiellum* spp. and *Transhsuum* (?) sp. were yielded from slaty mudstone of the Kassenba Formation (Plate 3). It is quite difficult to constrain the age of this poorly-preserved fauna, but the fauna probably ranges from upper Aalenian to upper Kimmeridgian (Table 2).

(5) ICH23-03 (Loc. 5) and ICH23-04 (Loc. 6)

No age-diagnostic species has been found in two siliceous mudstone samples of the Kassenba Formation (Plate 3). Hence, the age of each sample is unknown.

(6) ICH56-01 (Loc. 7)

It is the only sample which was derived from mudstone of the Kuzumaki Formation and yielded highly damaged radiolarian remains. Among them, it seems that *Eucyrtidiellum* (?) sp. and *Unuma* (?) sp. may be identifiable at a genus level (Plate 3). If this identification is reasonable, the sample can probably be correlated to lower Toarcian to upper Bathonian. As the above, this age assignment is controversial.

7. Conclusion

The main conclusions of this study concern the age assignment of seven rock samples in the Ichinohe–Kunohe area, the North Kitakami Belt. Two siliceous mudstone samples of the Seki Formation are relatively accurately assigned as early–middle Bathonian and early Kimmeridgian in age, respectively. On the Kassenba Formation, three siliceous mudstone and one slaty mudstone samples were collected, but their ages can not be restricted precisely; providing late Bajocian–early Oxfordian to the siliceous mudstone and late Aalenian–late Kimmeridgian to the slaty mudstone. On the other hand, the Kuzumaki Formation is probably assigned to early Toarcian–late Bathonian in age.

8. Systematic Paleontology

Descriptions of the radiolarian species examined in this study mainly employed the taxonomic classification of De Wever *et al.* (2001) and O'Dogherty *et al.* (2009).

Subclass RADIOLARIA Müller 1858

Order NASSELLARIA Ehrenberg 1875

Family WILLIRIEDELLIDAE Dumitrică 1970

Genus *Williriedellum* Dumitrică 1970

Williriedellum sp.

(Plate 2, fig. 1)

Remarks: This specimen is identical with genus *Williriedellum* based on the outline of its shell and having three segments; cephalis is small, thorax is slightly depressed into abdomen, and abdomen is large and globose. An apertural tube, which is not clearly found, is recognized at the end of the abdomen. But, cylindrical pores on the abdominal surface are obscure.

Williriedellum (?) sp.

(Plate 3, fig. 3)

Genus *Zhamoidellum* Dumitrică 1970

Zhamoidellum spp.

(Plate 2, figs. 2–3)

Remarks: The obtained specimens are composed of three segments. Cephalis is small. Thorax is partly encased in large and globose abdomen. Hexagonal pore frames are visible on the abdominal surface.

Zhamoidellum (?) sp.

(Plate 3, fig. 4)

Genus *Hisccocapsa* O'Dogherty 1994

Hisccocapsa spp.

(Plate 2, figs. 4–5)

Remarks: Test of the obtained specimens is composed of four segments. Small cephalis, thorax and abdomen form together a narrow conical portion. Fourth segment is large and inflated in shape, possessing a constricted aperture. Ornamentation (pores or spines) on the test surface is not clearly recognized due to poorly-preservation.

Genus *Striatojaponocapsa* Kozur 1984

O'Dogherty *et al.* (2005) restricted the generic name *Striatojaponocapsa* to the phylogenetic lineage *S. tegiminis* (Matsuoka) – *S. plicarum* (Yao) – *S. synconexa* O'Dogherty *et al.* – *S. conexa* (Matsuoka) – *S. lacrimalis* (Matsuoka). Some species belonging to this lineage are differentiated by ornamentation on surface of their tests; *S. synconexa* O'Dogherty *et al.* differs from *S. plicarum* (Yao) by the presence of a porous depression, and from *S. conexa* (Matsuoka) by lack of transversal ridges between plicae.

Striatojaponocapsa plicarum (Yao) 1979

(Plate 1, fig. 1)

- 1979 *Tricolocapsa plicarum* n. sp. – Yao, p. 32–33, plate 4, figs. 1–11.
1982 *Tricolocapsa plicarum* Yao – Sashida *et al.*, plate 2, fig. 1.
1982 *Tricolocapsa plicarum* Yao – Kido *et al.*, plate 5, fig. 1.
1983 *Tricolocapsa plicarum* Yao – Matsuoka, p. 20, plate 3, fig. 1.
1984 *Tricolocapsa plicarum* Yao – Baumgartner, p. 790, plate 10, fig. 6.
1984 *Striatojaponocapsa plicarum* (Yao) – Kozur, plate 7, fig. 3.
1995 *Tricolocapsa plicarum plicarum* Yao – Baumgartner *et al.*, p. 598–599, plate 4053, figs. 1–3.
1997 *Striatojaponocapsa plicarum plicarum* (Yao) – Hull, p. 168, plate 37, figs. 6, 9.

Remarks: Although this specimen is not well-preserved, it is identical with *Striatojaponocapsa plicarum* (Yao) by possessing a dish-like basal appendage and longitudinal plicae on its surface.

Range: UAZones 4–5 (Baumgartner *et al.*, 1995; Savary and Guex, 1999), corresponding to lower Bajocian–lower Callovian (Matsuoka, 1995b).

Striatojaponocapsa sp. cf. *S. plicarum* (Yao) 1979

(Plate 1, fig. 2)

Remarks: This specimen is incomplete and questionably assigned to *Striatojaponocapsa plicarum* (Yao), because its longitudinal plicae on the surface are faintly recognized.

Striatojaponocapsa sp. cf. *S. synconexa* O'Dogherty, Goričan and Dumitrică in O'Dogherty, Markus, Goričan, Dumitrică and Masson 2005

(Plate 1, figs. 3–7)

Remarks: *Striatojaponocapsa synconexa* O'Dogherty *et al.* is synonymous with *Tricolocapsa plicarum* ssp. A which has been defined by Baumgartner *et al.* (1995). This species is quite similar to *Striatojaponocapsa conexa* (Matsuoka) by presence of longitudinal plicae and a circular depression at its basal part, but slightly different from *Striatojaponocapsa conexa* (Matsuoka) by lacking transversal ridges between plicae. Poorly-preserved specimens were found in the present material and are characterized by a circular depression. However, presence of the transversal ridges between plicae is obscure.

Family DIACANTHOCAPSIDAE O'Dogherty 1994

Genus *Theocapsomella* O'Dogherty,
Goričan and Dumitrică in O'Dogherty,
Markus, Goričan, Dumitrică and Masson 2005

According to the original definition by O'Dogherty *et al.* (2005), the test of *Theocapsomella* is composed of three segments; cephalis small, thorax much larger and inflated, abdomen subglobular and usually somewhat larger than thorax, and lumbar stricture between thorax and abdomen is well pronounced.

Theocapsomella sp. cf. *T. costata* (Chiari, Marcucci and Prela) 2002

(Plate 1, fig. 8)

Remarks: The obtained specimen is composed of three segments. Cephalis is small and hemispherical. Much larger thorax and abdomen, which are separated by a lumbar stricture, possess wide raised longitudinal ridges on their surface. Based on these characteristic features, this specimen resembles to *Theocapsomella costata* (Chiari, Marcucci and Prela), although rounded pores on the test surface are invisible due to poor-preservation.

Theocapsomella (?) sp.

(Plate 2, fig. 6)

Family EUCYRTIDIELLIDAE Takemura 1986

Genus *Natoba* Pessagno and Poisson 1981

Natoba (?) sp.

(Plate 1, fig. 9)

Genus *Eucyrtidiellum* Baumgartner 1984

Eucyrtidiellum sp. cf. *E. pustulatum* Baumgartner 1984
(Plate 1, fig. 11; Plate 2, fig. 7)

Remarks: The obtained specimens are poorly-preserved and composed of four segments. Large pores are recognized at the joint between the abdomen and fourth segment. It is similar to *Eucyrtidiellum pustulatum* Baumgartner or *Eucyrtidiellum dentatum* Baumgartner in outer shape.

However, *Eucyrtidiellum pustulatum* is more suitable for the obtained specimens than the latter by possessing an irregularly nodose abdomen. Each specimen lacks in a flat terrace and a sharp edge at the top of abdomen, which is a characteristic feature of *Eucyrtidiellum dentatum*.

***Eucyrtidiellum* sp. cf. *E. unumaense* (Yao) 1979**
(Plate 1, figs. 12–14)

Remarks: *Eucyrtidiellum unumaense* (Yao) is composed of four segments. Its large and inflated hemispherical abdomen has smooth surface without pores. On the obtained specimens, any pronounced ornamentation (pores, plicae or pore frames) is invisible on the abdominal surface.

***Eucyrtidiellum ptyctum* (Riedel and Sanfilippo) 1974**
(Plate 2, fig. 8)

- 1974 *Eucyrtidium ptyctum* n. sp.—Riedel and Sanfilippo, p. 778, plate 5, fig. 7; plate 12, fig. 14.
- 1977 *Eucyrtidium* (?) *ptyctum* Riedel and Sanfilippo—Pessagno, p. 94, plate 12, fig. 7.
- 1984 *Eucyrtidiellum ptyctum* (Riedel and Sanfilippo)—Baumgartner, p. 764, plate 4, figs. 1–3.
- 1986 *Eucyrtidiellum ptyctum* (Riedel and Sanfilippo)—Matsuoka, plate 2, fig. 10.
- 1987 *Eucyrtidiellum ptyctum* (Riedel and Sanfilippo)—Aita, p. 65, plate 4, figs. 12a–b; plate 10, fig. 14; plate 14, fig. 3.
- 1990 *Eucyrtidiellum ptyctum* (Riedel and Sanfilippo)—Nagai and Mizutani, p. 595, plate 3, figs. 5a–b.

Remarks: Plicae are faintly visible and arranged longitudinally on the inflated abdomen. These characters are recognized in *Eucyrtidiellum ptyctum* (Riedel and Sanfilippo) and *Eucyrtidiellum pyramis* (Aita), but number of the plicae is different; 9 to 11 plicae in lateral view of *Eucyrtidiellum ptyctum* (Riedel and Sanfilippo) and 5 to 6 plicae in lateral view of *Eucyrtidiellum pyramis* (Aita). 11 plicae are recognized in the examined specimen.

Range: UAZones 5–11 (Baumgartner *et al.*, 1995), corresponding to middle Bathonian–late Tithonian (Matsuoka, 1995b).

***Eucyrtidiellum nodosum* Wakita 1988**
(Plate 2, fig. 9)

- 1985 *Eucyrtidium* sp.—Baumgartner, fig. 38.m.
- 1986 *Eucyrtidium* sp. aff. *E. unumaense* (Yao)—Matsuoka, plate 2, fig. 9; plate 3, fig. 10.
- 1988 *Eucyrtidiellum nodosum* n. sp.—Wakita, p. 408, plate 4, fig. 29; plate 5, fig. 16.
- 1988 *Eucyrtidiellum nodosum* Wakita—Nagai, plate 1, fig. 5; plate 2, fig. 6.

Remarks: This examined specimen is poorly-preserved, but ornamentation consisting of small noses is remained on abdominal surface.

Range: UAZones 3–10 (Baumgartner *et al.*, 1995), corresponding to late Aalenian–late Kimmeridgian (Matsuoka, 1995b).

***Eucyrtidiellum* spp.**

(Plate 2, figs. 10–11; Plate 3, figs. 5–6)

***Eucyrtidiellum* (?) sp.**

(Plate 3, fig. 20)

Family **EUCYRTIDIIDAE** Ehrenberg 1847

Genus ***Guexella*** Baumgartner 1984

***Guexella* (?) spp.**

(Plate 1, figs. 15–17; Plate 3, fig. 2)

Genus ***Stichomitra*** Cayeux 1897

***Stichomitra* (?) sp.**

(Plate 2, fig. 27)

Family **HSUIDAE** Pessagno and Whalen 1982

Genus ***Transhsuum*** Takemura 1986

***Transhsuum brevicostatum* gr.** (Ožvoldová) 1975

(Plate 2, figs. 12–13)

- 1975 *Lithostrobus brevicostatus*—Ožvoldová, p. 617, fig. 12j.
- 1981 *Hsuum brevicostatum* (Ožvoldová)—Kocher, p. 73, plate 14, fig. 3.
- 1984 *Hsuum brevicostatum* (Ožvoldová)—Baumgartner, p. 769, plate 5, figs. 1–2.
- 1993 *Hsuum brevicostatum* (Ožvoldová)—Pessagno *et al.*, p. 136, plate 6, figs. 3, 4, 21, 23.

Remarks: Tests of the obtained specimens are composed of 11 segments, regularly broadening distally. Each segment after fourth one is characterized by discontinuous longitudinal costae. Two rows of pore are faintly recognized between adjacent costae.

Range: UAZones 3–11 (Baumgartner *et al.*, 1995), corresponding to late Aalenian–late Tithonian (Matsuoka, 1995b).

***Transhsuum* sp. cf. *T. brevicostatum* gr.** (Ožvoldová)

1975

(Plate 2, fig. 14)

Remarks: General shape of the obtained specimen is similar to *Transhsuum brevicostatum*, but its detailed ornamentation is not clear.

***Transhsuum maxwelli* gr.** (Pessagno) 1977

(Plate 2, fig. 15)

- 1977 *Hsuum maxwelli*—Pessagno, p. 81, plate 7, figs. 14–16.
- 1981 *Hsuum maxwelli* Pessagno—Kocher, p. 73, plate 14, fig. 14.
- 1984 *Hsuum maxwelli* Pessagno—Pessagno *et al.*, p. 25, plate 1, fig. 6.
- 1984 *Hsuum maxwelli* Pessagno gr.—Baumgartner, p.

769, plate 5, figs. 3–4.

1988 *Hsuum maxwelli* Pessagno gr. – Ožvoldová, plate 3, fig. 3; plate 6, fig. 10.

Remarks: The obtained specimen is composed of more than 10 segments, with distally diverging discontinuous costae. Two rows of pore frames are recognized between costae on at least upper segments.

Range: UAZones 3–10 (Baumgartner *et al.*, 1995), corresponding to late Aalenian–late Kimmeridgian (Matsuoka, 1995b).

***Transhsuum* sp. cf. *T. maxwelli* gr.** (Pessagno) 1977
(Plate 1, fig. 18)

Remarks: The obtained specimen is a broken form of *Transhsuum*, and probably composed of more than 10 segments. This specimen is similar to *Transhsuum maxwelli* gr. in having the same feature of discontinuous costae.

***Transhsuum* (?) sp.**

(Plate 3, fig. 10)

Family ARCHAEOICTYOMITRIDAE Pessagno 1976

Genus *Archaeodictyomitra* Pessagno 1976

Archaeodictyomitra prisca Kozur and Mostler in Grill and Kozur 1986
(Plate 2, fig. 18)

1982 *Archaeodictyomitra* sp. A – Sashida *et al.*, plate 2, fig. 9.

1986 *Archaeodictyomitra prisca* n. sp. – Kozur and Mostler in Grill and Kozur, p. 258–259, plate 8, figs. 3–6.

1998 *Archaeodictyomitra whalenae* Kozur and Mostler – Ožvoldová, plate IV, fig. 11.

2005 *Archaeodictyomitra prisca* Kozur and Mostler – O'Dogherty *et al.*, p. 430, plate 1, figs. 4–5.

Remarks: The obtained specimen is identical with *Archaeodictyomitra prisca* Kozur and Mostler, which is characterized by slender test with indistinct stricture and by closely spaced longitudinal costae.

Archaeodictyomitra whalenae Kozur and Mostler in Grill and Kozur 1986
(Plate 2, fig. 19)

1982 *Archaeodictyomitra* sp. A – Pessagno and Whalen, p. 117, plate 8, fig. 10.

1982 *Archaeodictyomitra* sp. J – Kishida and Sugano, plate 12, fig. 11.

1986 *Archaeodictyomitra whalenae* n. sp. – Kozur and Mostler in Grill and Kozur, p. 260, plate 9, figs. 2–5.

1998 *Archaeodictyomitra whalenae* Kozur and Mostler – Ožvoldová, plate IV, fig. 10.

2005 *Archaeodictyomitra whalenae* Kozur and Mostler – O'Dogherty *et al.*, p. 430–431, plate 1, figs. 8–9.

Remarks: The test is conical and the width of segments increases rapidly at upper portion, but slightly decreases lower portion. Strictures are shallow and weakly developed. Small pores in some strictures are visible, but always closed in the case of the obtained specimen, due to poorly-preservation.

Archaeodictyomitra* sp. cf. *A. apiarium (Rüst) 1885
(Plate 2, figs. 16–17)

Remarks: These specimens are similar to *Archaeodictyomitra apiarium* (Rüst) in having low circumferential ridges and continuous longitudinal costae, but slightly different from the latter in their long and slender form.

***Archaeodictyomitra* spp.**

(Plate 1, fig. 19; Plate 2, figs. 20–22)

Remarks: The obtained specimens are multi-segmented and elongated conical in outer shape, and are covered by linearly arranged continuous costae.

Family **UNUMIDAE** Pessagno
in Pessagno, Finch and Abbott 1979

Genus ***Unuma*** Ichikawa and Yao 1976

***Unuma* (?) sp.**

(Plate 3, fig. 25)

Family **SPONGOCAPSULIDAE** Pessagno 1977

Genus ***Spongocapsula*** Pessagno 1977

Spongocapsula krahsteinensis Suzuki and Gawlick in Gawlick, Schlagintwei, Ebli and Suzuki 2004

(Plate 1, figs. 20–21)

1982 *Canoptum* sp. – Kido *et al.*, plate 2, fig. 6.

1985 *Canoptum* sp. – Yamamoto *et al.*, p. 34, plate 3, fig. 10.

1992 *Spongocapsula palmerae* Pessagno – Ožvoldová, plate 4, fig. 9.

1996 *Spongocapsula* (?) sp. – Nishizono, plate 27, fig. 11.

1998 *Canoptum* sp. A sensu Yao – Arakawa, plate 9, fig. 399.

2001 *Spongocapsula palmerae* Pessagno – Hori, plate 4, fig. 14.

2004 *Spongocapsula krahsteinensis* n. sp. – Suzuki and Gawlick in Gawlick, Schlagintwei, Ebli and Suzuki, pl. 313–315, plate 4, fig. 7–10.

Remarks: Entire shell of *Spongocapsula krahsteinensis* is composed of a spongy meshwork, which is covered with a thin layer of fine-grained gravel. Cephalis is conical without apical horn. Post-cephalic segments are truncated cone-shaped, and their width gradually increases in the distal direction. Circumferential ridges are striking between the post-abdominal chambers. The examined specimens are longer than the holotype described by

Suzuki and Gawlick.

Range: Late Bajocian–Callovian (Gawlick *et al.*, 2004).

Genus *Cinguloturris* Dumitrica
in Dumitrica and Mello 1982

Cinguloturris (?) spp.
(Plate 2, figs. 23–24)

Family PARVICINGULIDAE Pessagno 1977

Genus *Parvingula* Pessagno 1977

Parvingula cappa Cortese 1993

(Plate 1, fig. 10)

1985 *Parvingula* (?) sp. – Yamamoto *et al.*, p. 37,
plate 6, figs. 4–5.

1993 *Parvingula cappa* n. sp. – Cortese, pl. 176, plate
4, figs. 1–4.

1994 *Parvingula cappa* Cortese – Matsuoka *et al.*,
plate 11, fig. 15.

1998 *Parvingula* (?) sp. J0 – Arakawa, plate 10, fig.
462.

1998 *Parvingula* (?) sp. J1 – Arakawa, plate 10, fig.
463.

2002 *Parvingula* (?) sp. – Nakae, fig. 5, h–i.

2003 *Parvingula cappa* Cortese – Suzuki and Gawlick,
pl. 187–188, fig. 6, 83–84.

Remarks: The obtained specimen is multi-segmented and conical in outer shape. Hexagonally arranged pores are faintly found on the test surface but no circumferential ridges are developed.

Range: latest Bathonian–early Callovian (Suzuki and Gawlick, 2003).

Genus *Tethysetta* Dumitrica in Dumitrica *et al.* 1997

Tethysetta sp. cf. *T. mashitaensis* (Mizutani) 1981

(Plate 2, fig. 25)

Remarks: The obtained specimen is multi-segmented and spindle-shaped. Distal part seems to be closed with a narrow tube. One row of pore is found on the edge of circumferential ridges, although three rows of pore are arranged in well-preserved specimens.

Tethysetta spp.

(Plate 1, figs. 22–23)

Remarks: Test of each specimen detected is multi-segmented and spindle-shaped, and its distal part (last few segments) become narrower. A narrow tube is lacking due to poor preservation. Circumferential ridges at joints between segments are somewhat nodose.

Genus *Triversus* Takemura 1986

Triversus (?) sp.

(Plate 2, fig. 26)

NASSELLARIA Incertae sedis

Genus *Lantus* Yeh 1987

Lantus sp.

(Plate 1, fig. 24)

Remarks: The examined specimen belongs to genus *Lantus* by similar overall form and by having a final post-abdominal segment which is closed with an ellipsoidal cap.

Acknowledgements

This report is based on results of the study “Geology of the Ichinohe district” which has been conducted by the Geological Survey of Japan, AIST. Thanks are extended to Dr. T. Uchino (GSJ) for his helpful comments regarding the manuscript. Prof. Hisashi Suzuki (Otani University, Kyoto) is gratefully acknowledged for thorough review of the manuscript.

References

- Aita, Y. (1987) Middle Jurassic to Lower Cretaceous radiolarian biostratigraphy of Shikoku with reference to selected sections in Lombardy basin and Sicily. *Science Reports of Tohoku Univ., Series 2, Geology*, **58**, 1–9.
- Arakawa, Y. (1998) Middle Jurassic radiolarian assemblages from manganese dioxide nodule, Kuzuu area of the Ashio Terrane, central Japan. *Bulletin of Tochigi Prefectural Museum*, **15**, 51–76. (in Japanese with English abstract)
- Baumgartner, P. O. (1984) A Middle Jurassic–Early Cretaceous low-latitude radiolarian zonation based on Unitary Associations and age of Tethyan radiolarites. *Eclogae Geologicae Helvetiae*, **77**, 729–841.
- Baumgartner, P. O. (1985) Jurassic sedimentary evolution and nappe emplacement in the Argolis Peninsula (Peloponnesus, Greece). *Mémoires de la Société Helvétique des Sciences Naturelles*, **99**, 1–111.
- Baumgartner, P. O., O’Dogherty, L., Gorican, S., Dumitrica-Jud, R., Dumitrica, P., Pillevuit, A., Urquhart, E., Matsuoka, A., Danelian, T., Bartolini, A., Carter, E. S., De Wever, P., Kito, N., Marcucci, M. and Steiger, T. (1995) Radiolarian catalogue and systematics of Middle Jurassic to Early Cretaceous Tethyan genera and species. In Baumgartner, P. O., O’Dogherty, L., Gorican, S., Urquhart, E., Pillevuit, A. and De Wever, P. eds., *Middle Jurassic to Early Cretaceous Radiolaria of Tethys: occurrence, systematics, biochronology*. *Mémoires de Géologie (Lausanne)*, no. 23, Lausanne, Switzerland, 37–685.
- Cayeux, L. (1897) Contribution à l’étude micrographique des terrains sédimentaires. 1. Étude de quelques dépôts siliceux secondaires et terriaire du Bassin de Paris et de la Belgique. 2. Craie de Bassin de Paris. *Mémoires de la Société Géologique de Nord, Lille*,

- 4, 1–591.
- Chiari, M., Marcucci, M. and Prela, M. (2002) New species of Jurassic radiolarians in the sedimentary cover of ophiolites in the Mirdita area, Albania. *Micropaleontology*, **48**, Supplement 1, 61–87.
- Cortese, G. (1993) Radiolarian biostratigraphy of the Tuscan Cherts (Tuscan successions) from Val di Lima, Tuscany, Northern Apennines. *Paleopelagos*, **3**, 169–189.
- De Wever, P., Dumitrica, P., Caulet, J. P., Nigrini, C. and Caridroit, M. (2001) *Radiolarians in the sedimentary record*. Gordon and Breach Science Publishers, 533 p.
- Dumitrică, P. (1970) Cyrtococephalic and cyrothoracic Nassellaria in some Mesozoic deposits of Romania. *Revue Roumaine de Géologie, Géophysique et Géographie (série de Géologie)*, **14**, 45–124.
- Dumitrica, P. and Mello, J. (1982) On the age of the Meliata roup and the Silica Nappe radiolarites (localities Držkovce and Bohunovo, Slovak Karst, CSSR). *Geologické práce, Zpravy*, **77**, 17–28.
- Dumitrica, P., Immenhauser, A. and Dumitrica-Jud, R. (1997) Mesozoic radiolarian biostratigraphy from Masirah Ophiolite, Sultanate of Oman. Part I: Middle Triassic, Uppermost Jurassic and Lower Cretaceous Spumellarians and multisegmented Nassellarians. *Bulletin of National Museum of Natural Science, Taiwan*, no. 9, 1–106.
- Ehiro, M., Yamakita, S., Takahashi, S. and Suzuki, N. (2008) Jurassic accretionary complexes of the North Kitakami belt in the Akka-Kuji area, Northeast Japan. *Journal of Geological Society of Japan*, **144**, supplement, 317–139. (in Japanese, with English abstract)
- Ehrenberg, C. G. (1847) Über die mikroskopischen kieselschaligen Polycystinen als mächtige Gebirgsmasse von Barbados und über das Verhältniss der aus mehr als 300 neuen Arten bestehenden ganz eigenthümlichen Formengruppe jener Felsmasse zu den jetzt lebenden Thieren und zur Kreidebildung Eine neue Anregung zur Erforschung des Erdlebens. *Bericht der königlichen preussischen Akademie der Wissenschaften zu Berlin*, Abhandlungen, Jahre 1847, 40–60.
- Ehrenberg, C. G. (1875) Fortsetzung der mikrogeologischen Studien als Gesamt-Ubersicht der mikroskopischen Paläontologie gleichartig analysirter Gebirgsarten der Erde, mit specieller Rücksicht auf den Polycystinen-Mergel von Barbados. *Bericht der königlichen preussischen Akademie der Wissenschaften zu Berlin*, Abhandlungen, Jahre 1875, 1–225.
- Gawlick, H.-J., Schlagintwei, F., Ebli, O. and Suzuki, H. (2004) Die Plassen-Formation (Kimmeridgium) des Krahstein (Steirisches Salzkammergut, Österreich) und ihre Unterlagerung: neue Daten zur Fazies, Biostratigraphie und Sedimentologie. *Zentralblatt für Geologie und Paläontologie, Teil 1*, **2003**, 295–334.
- Grill, J. and Kozur, H. (1986) The first evidence of the *Unuma echinatus* radiolarian zone in the Rudabanya Mts. (northern Hungary). *Geologisch Paläontologische Mitteilungen Innsbruck*, **13**, 239–275.
- Hatakeyama, K., Suzuki, N. and Matsuoka, A. (2007) Quantitative morphological analyses and evolutionary history of the Middle Jurassic polycystine radiolarian genus *Striatojaponocapsa* Kozur. *Marine Micropaleontology*, **63**, 39–56.
- Hori, N. (2001) Triassic and Jurassic radiolarians from the chert-clastic sequence of the Takatori Unit in the Torinoko block, Yamizo mountains. *News of Osaka Micropaleontologists, Special Volume*, no. 12, 159–180. (in Japanese with English abstract)
- Hull, D. M. (1997) Upper Jurassic Tethyan and southern Boreal radiolarians from western North America. *Micropaleontology*, **43**, supplement 2, 202 p.
- Ichikawa, K. and Yao, A. (1976) Two new genera of Mesozoic cyrtoid radiolarians from Japan. In Takayanagi, Y. and Saito, T. eds., *Progress in Micropaleontology*. Special publication. Micropaleontology Press, American Museum of Natural History, New York, 110–117.
- Isozaki, Y., Maruyama, S. and Furuoka, F. (1990) Accreted oceanic materials in Japan. *Tectonophysics*, **181**, 179–205.
- Kamada, K., Hata, M., Kubo, K. and Sakamoto, T. (1991) *Geological Map of Japan 1:200,000, Hachinohe*. Geological Survey of Japan.
- Kido, S., Kawaguchi, I., Adachi, M. and Mizutani, S. (1982) On the *Dictyomitrella* (?) *kamoensis* – *Pantanellium foveatum* assemblage in the Mino area, central Japan. *News of Osaka Micropaleontologists, Special Volume*, no. 5, 195–210. (in Japanese with English abstract)
- Kishida, Y. and Sugano, K. (1982) Radiolarian zonation of Triassic and Jurassic in outer side of Southwest Japan. *News of Osaka Micropaleontologists, Special Volume*, no. 5, 271–300. (in Japanese with English abstract)
- Kocher, R. N. (1981) Biochronostratigraphische Untersuchungen oberjurassischer radiolarien führender Gesteine, insbesondere der Südalpen. *Mitteilungen aus dem Geologischen Institut der Eidgenössischen Technischen Hochschule und der Universität Zurich, Neue Folge*, **234**, 1–184.
- Kozur, H. (1984) New radiolarian taxa from the Triassic and Jurassic. *Geologisch Paläontologische Mitteilungen Innsbruck*, **15**, 49–88.
- Matsuoka, A. (1983) Middle and Late Jurassic radiolarian biostratigraphy in the Sakawa and adjacent areas, Shikoku, Southwest Japan. *Journal of Geosciences, Osaka City Univ.*, **26**, 1–48.
- Matsuoka, A. (1986) Faunal change of radiolarians around the Jurassic–Cretaceous boundary – with special reference to some multi-segmented nassellarians. *Fossils*, **40**, 1–15. (in Japanese with English abstract)
- Matsuoka, A. (1987) Radiolarian age of the Shiriyazaki

- Group in Aomori Prefecture, northeast Japan. *Fossils*, **42**, 7–13. (in Japanese with English abstract)
- Matsuoka, A. (1995a) Jurassic and Lower Cretaceous radiolarian zonation in Japan and in the western Pacific. *Island Arc*, **4**, 140–153.
- Matsuoka, A. (1995b) Middle Jurassic–Lower Cretaceous radiolarian zonation in Japan and the western Pacific, and age assignments based on the Unitary Associations method. In Baumgartner, P. O., O’Dogherty, L., Gorican, S., Urquhart, E., Pillevuit, A. and De Wever, P. eds., *Middle Jurassic to Early Cretaceous Radiolaria of Tethys: occurrence, systematics, biochronology*. *Mémoires de Géologie (Lausanne)*, no. 23, Lausanne, Switzerland, 1049–1057.
- Matsuoka, A. and Oji, T. (1990) Middle Jurassic radiolarian fossils from the Magisawa Formation in the Taro belt, North Kitakami Mountains. *Journal of Geological Society of Japan*, **96**, 239–241. (in Japanese with English abstract)
- Matsuoka, A. and Yao, A. (1986) A newly proposed radiolarian zonation for the Jurassic of Japan. *Marine Micropaleontology*, **11**, 91–105.
- Matsuoka, A., Hori, R., Kuwahara, K., Hiraishi, M., Yao, A. and Ezaki, Y. (1994) Triassic–Jurassic radiolarian-bearing sequences in the Mino Terrane, central Japan. *Guide book for Interrad VII field excursion*, 19–61, Organizing Committee of Interrad VII, Osaka.
- Minoura, K. (1990) The pre-Cretaceous geology and tectonics of northern Kitakami region. In Ichikawa, K., Mizutani, S., Hara, I., Hada, S., Yao, A. eds., *Pre-Cretaceous terranes of Japan* (Publication of IGCP project No. 224: Pre-Jurassic evolution of eastern Asia). Osaka, 267–279.
- Mizutani, S. (1981) A Jurassic formation in the Hida-Kanayama area, central Japan. *Bulletin of Mizunami Fossil Museum*, **8**, 147–190.
- Müller, J. (1858) Über die Thalassicollen, Polycystinen und Acanthometren des Mittelmeeres. *Königliche Preussische Akademie der Wissenschaften zu Berlin, Abhandlungen*, Jahre 1858, 1–62.
- Nagai, H. (1988) Early Jurassic *Eucyrtidiellum* (Radiolaria) from Kamiaso, Gifu Prefecture, central Japan. the Mino terrane. *Bulletin of Nagoya Univ., Furukawa Museum*, **4**, 1–9.
- Nagai, H. and Mizutani, S. (1990) Jurassic *Eucyrtidiellum* (Radiolaria) in the Mino terrane. *Transactions and Proceedings of Palaeontological Society of Japan, N.S.*, **159**, 587–602.
- Nakae, S. (2002) Triassic and Jurassic radiolarians from the Tamba Terrane in the Nishizu district, Fukui, Southwest Japan. *Bulletin of Geological Survey of Japan*, **53**, 51–59.
- Nakae, S. and Kamada, K. (2003) Late Jurassic radiolarians from the Rikuchi-Seki district in the North Kitakami belt, Northeast Japan. *Journal of Geological Society of Japan*, **109**, 722–725. (in Japanese with English abstract)
- Nishizono, Y. (1996) Mesozoic convergent process of the Southern Chichibu Terrane in West Kyushu, Japan, on the basis of Triassic to Early Cretaceous radiolarian biostratigraphy. *Kumamoto Journal of Science (Earth Science)*, **14**, 45–226. (in Japanese with English abstract)
- O’Dogherty, L. (1994) Biochronology and paleontology of Mid-Cretaceous radiolarians from northern Apennines (Italy) and Betic Cordillera (Spain). *Mémoires de Géologie (Lausanne)*, no. 21, Lausanne, Switzerland, 1–415.
- O’Dogherty, L., Markus, B., Goričan, Š., Dumitrica, P. and Masson, H. (2005) Bathonian radiolarians from an ophiolitic mélange of the Alpine Tethys (Gets Nappe, Swiss-French Alps). *Micropaleontology*, **51**, 425–485.
- O’Dogherty, L., Carter, E. S., Dumitrica, P., Goričan, Š. and De Wever, P. (2009) An illustrated and revised catalogue of Mesozoic radiolarian genera – objectives, concepts and guide for users. *Geodiversitas*, **31**, 191–356.
- Okami, K. and Ehiro, M. (1988) Review and recent progress of studies on the pre-Miyakoan sedimentary rocks of the northern Kitakami massif, Northeast Japan. *Earth Science (Chikyu Kagaku)*, **42**, 187–201. (in Japanese with English abstract)
- Okami, K. and Murata, M. (1974) Geologic study along the Hiranuka river, western margin of the northern part of the Kitakami massif, Northwest Japan. *Technology Reports of Iwate University*, **27**, 21–25. (in Japanese with English abstract)
- Ožvoldová, L. (1975) Upper Jurassic radiolarians from the Kysuca Series in the Klippen belt. *Západné Karpaty, Série Paleontológia*, **1**, 73–86.
- Ožvoldová, L. (1988) Radiolarian associations from radiolarites of the Kysuca succession of the Klippen belt in the vicinity of Myjava – Turá Lúka (West Carpathians). *Geologicky Sborník (Bratislava)*, **39**, 369–392.
- Ožvoldová, L. (1992) The discovery of a Callovian radiolarian association in the Upper Posidonia beds of the Pieniny succession of the Klippen belt (Western Carpathians). *Geologica Carpathica*, **43**, 111–122.
- Ožvoldová, L. (1998) Middle Jurassic radiolarian assemblages from radiolarites of the Silica Nappe (Iovak Karst, western Carpathians). *Geologica Carpathica*, **49**, 289–296.
- Pessagno, E. A., Jr. (1976) Radiolarian zonation and stratigraphy of the California Coast Ranges. *Micropaleontology Special Publication*, **2**, 1–95.
- Pessagno, E. A., Jr. (1977) Upper Jurassic Radiolaria and radiolarian biostratigraphy of the California Coast Ranges. *Micropaleontology*, **23**, 56–113.
- Pessagno, E. A., Jr. and Poisson, A. (1981) Lower Jurassic radiolaria from the Gümüşlu allochthon of southwestern Turkey (Taurides Occidentales). *Bulletin of Mineral Research and Exploration Institute of Turkey*, no. 92,

- 47–69.
- Pessagno, E. A., Jr. and Whalen, P. A. (1982) Lower and Middle Jurassic Radiolaria (multicyrtid Nassellariina) from California, east-central Oregon and the Queen Charlotte Islands, B.C. *Micropaleontology*, **28**, 111–169.
- Pessagno, E. A., Jr., Finch, W. and Abbott, P. L. (1979) Upper Triassic Radiolaria from the San Hipólito Formation, Baja California. *Micropaleontology*, **25**, 160–197.
- Pessagno, E. A., Jr., Blome, C. D. and Longoria, J. F. (1984) A revised radiolarian zonation for the Upper Jurassic of western North America. *Bulletin of American Paleontology*, **87**, 1–51.
- Pessagno, E. A., Jr., Blome, C. D., Hull, D. M. and Six, W. M. (1993) Jurassic radiolaria from the Josephine ophiolite and overlying strata, Smith River subterrane (Klamath Mountains), northwestern California and southwestern Oregon. *Micropaleontology*, **39**, 93–166.
- Riedel, W. R. and Sanfilippo, A. (1974) Radiolaria from the southern Indian Ocean, DSDP Leg 26. *Initial Reports of Deep Sea Drilling Project*, U.S. Government Printing Office, Washington, D.C., **26**, 771–814.
- Rüst, D. (1885) Beiträge zur Kenntniss der fossilen Radiolarien aus Gesteinen des Jura. *Palaeontographica*, **31**, 269–321.
- Sashida, K., Igo, H., Igo, H., Takizawa, S., Hisada, K., Shibata, T., Tsukada, K. and Nishimura, H. (1982) On the Jurassic radiolarian assemblages in the Kanto district. *News of Osaka Micropaleontologists, Special Volume*, no. 5, 9–23. (in Japanese)
- Savary, J. and Guex, J. (1999) Discrete biochronological scales and Unitary Associations: Description of the BioGraph computer program. *Mémoires de Géologie (Lausanne)*, no. 34, Lausanne, Switzerland, 1–281.
- Sugimoto, M. (1974) Stratigraphical study in the outer belt of the Kitakami massif, Northeast Japan. *Contributions. Institute. Geology and Paleontology, Tohoku Univ.*, no. 74, 1–48.
- Suzuki, H. and Gawlick, H.-J. (2003) Biostratigraphie und Taxonomie der Radiolarien aus den Kieselsedimenten der Blaa Alm und nördlich des Loser (Nördliche Kalkalpen, Callovium–Oxfordium). *Mitteilungen Gesellschaft Geologie Bergbaustud. Österreich*, **46**, 137–228.
- Takahashi, S., Ehiro, M., Suzuki, N. and Yamakita, S. (2016) Subdivisional scheme of the North Kitakami belt, Northeast Japan and its tectonostratigraphic correlation to the Oshima and South Chichibu belts: and examination of the Jurassic accretionary complex in the west Akka area. *Journal of Geological Society of Japan*, **122**, 1–22. (in Japanese with English abstract)
- Takemura, A. (1986) Classification of Jurassic nassellarians (Radiolaria). *Palaeontographica Abteilung A: Palaeozoologie-Stratigraphie*, **195**, 29–74.
- Wakita, K. (1988) Early Cretaceous mélange in the Hida-Kanayama area, central Japan. *Bulletin of Geological Survey of Japan*, **39**, 367–421.
- Yamamoto, H., Mizutani, S. and Kagami, H. (1985) Middle Jurassic radiolarians from Blake Bahama Basin, West Atlantic Ocean. *Bulletin of Nagoya Univ. Museum*, **1**, 25–49.
- Yao, A. (1979) Radiolarian fauna from the Mino belt in the northern part of the Inuyama area, central Japan, Part II: Nasselaria I. *Journal of Geosciences, Osaka City Univ.*, **15**, 21–72.
- Yeh, K.-Y. (1987) Taxonomic studies of Lower Jurassic Radiolaria from east-central Oregon. *Special Publication, National Museum of Natural Science, Taiwan*, no. 2, 169 p.
- Yoshihara, K., Suzuki, N. and Ehiro, M. (2002) Middle Jurassic radiolarian-bearing manganese nodules from the Kuzumaki-Kamaishi belt in the northern Kitakami massif and its significance. *Journal of Geological Society of Japan*, **108**, 536–539. (in Japanese with English abstract)

Received March 18, 2016

Accepted July 5, 2016

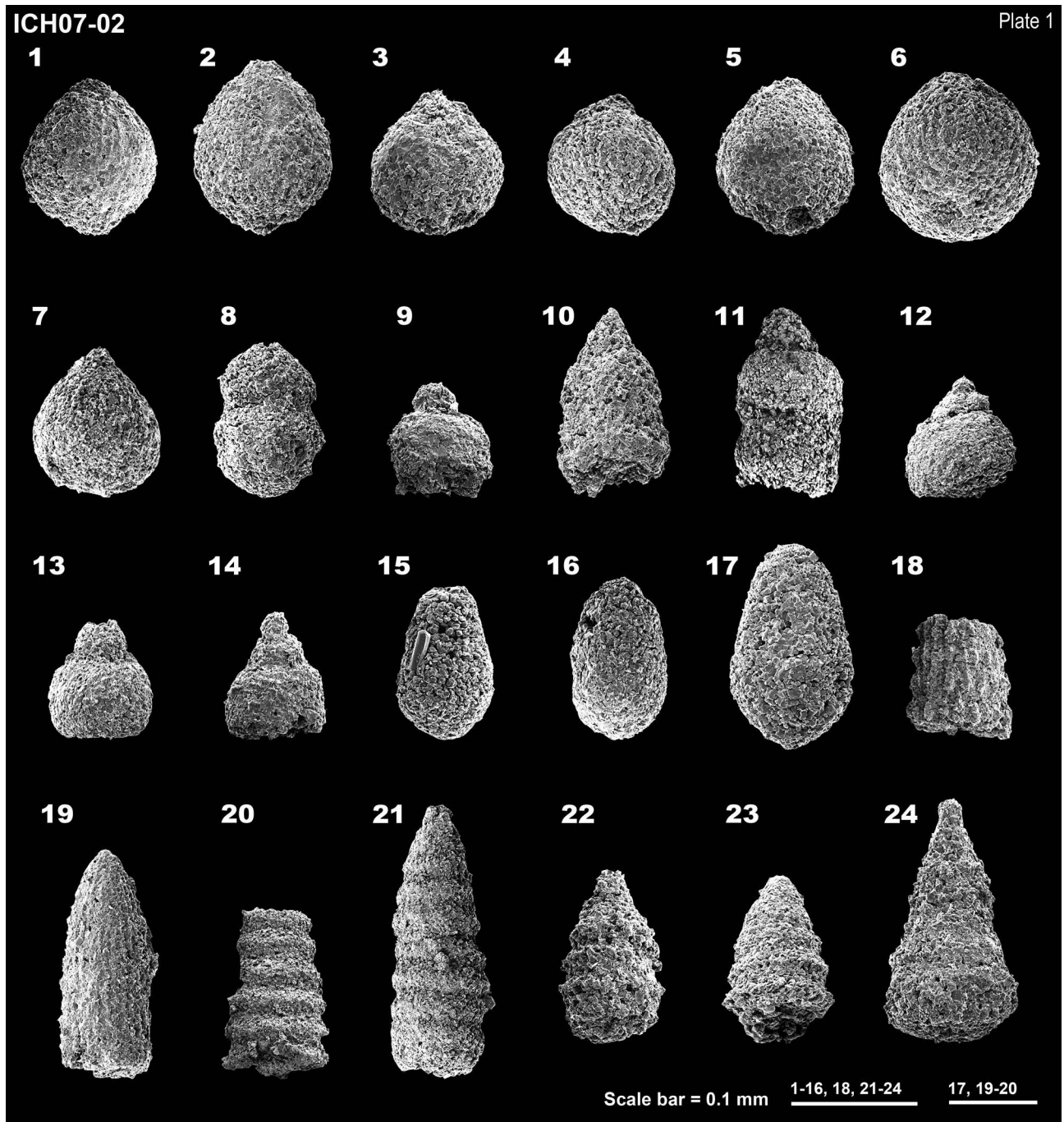


Plate 1 SEM images of Jurassic radiolarians from the Seki Formation in the Ichinohe–Kunohe area.

ICH07-02 (Locality 1: Seki Formation), **1:** *Striatojaponocapsa plicarum* (Yao), **2:** *Striatojaponocapsa* sp. cf. *S. plicarum* (Yao), **3–7:** *Striatojaponocapsa* sp. cf. *S. syncnexa* O'Dogherty, Goričan and Dumitrică, **8:** *Theocapsomella* sp. cf. *T. costata* (Chiari, Marcucci and Prela), **9:** *Natoba* (?) sp., **10:** *Parvingula cappa* Cortese, **11:** *Eucyrtidiellum* sp. cf. *E. pustulatum* Baumgartner, **12–14:** *Eucyrtidiellum* sp. cf. *E. unumaense* (Yao), **15–17:** *Guexella* (?) spp., **18:** *Transhsuum* sp. cf. *T. maxwelli* gr. (Pessagno), **19:** *Archaeodictyomitra* sp., **20–21:** *Spongocapsula krahsteinensis* Suzuki and Gawlick, **22–23:** *Tethysetta* spp., **24:** *Lantus* sp. All scale bars are equal to 0.1 mm.

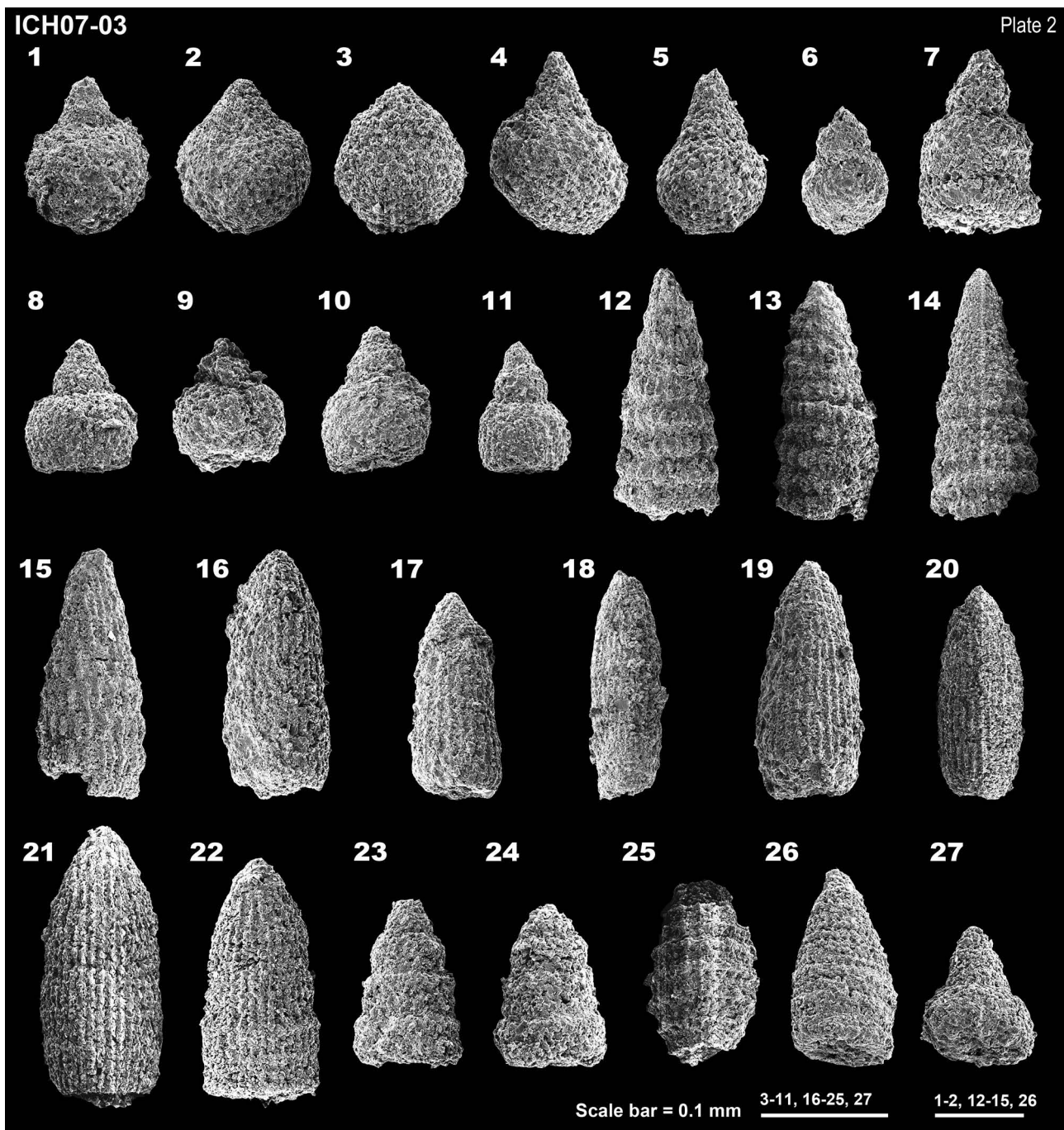


Plate 2 SEM images of Jurassic radiolarians from the Seki Formation in the Ichinohe–Kunohe area.

ICH07-03 (Locality 2: Seki Formation), **1**: *Williriedellum* sp., **2–3**: *Zhamoidellum* spp., **4–5**: *Hiscocapsa* spp., **6**: *Theocapsomella* (?) sp., **7**: *Eucyrtidiellum* sp. cf. *E. pustulatum* Baumgartner, **8**: *Eucyrtidiellum ptyctum* (Riedel and Sanfilippo), **9**: *Eucyrtidiellum nodosum* Wakita, **10–11**: *Eucyrtidiellum* spp., **12–13**: *Transhsuum brevicostatum* gr. (Ožvoldová), **14**: *Transhsuum* sp. cf. *T. brevicostatum* gr. (Ožvoldová), **15**: *Transhsuum maxwelli* gr. (Pessagno), **16–17**: *Archaeodictyomitra* sp. cf. *A. apiarium* (Rüst), **18**: *Archaeodictyomitra prisca* Kozur and Mostler, **19**: *Archaeodictyomitra whalenae* Kozur and Mostler, **20–22**: *Archaeodictyomitra* spp., **23–24**: *Cinguloturris* (?) spp., **25**: *Tethysetta* sp. cf. *T. mashitaensis* (Mizutani), **26**: *Triversus* (?) sp., **27**: *Stichomitra* (?) sp. All scale bars are equal to 0.1 mm.

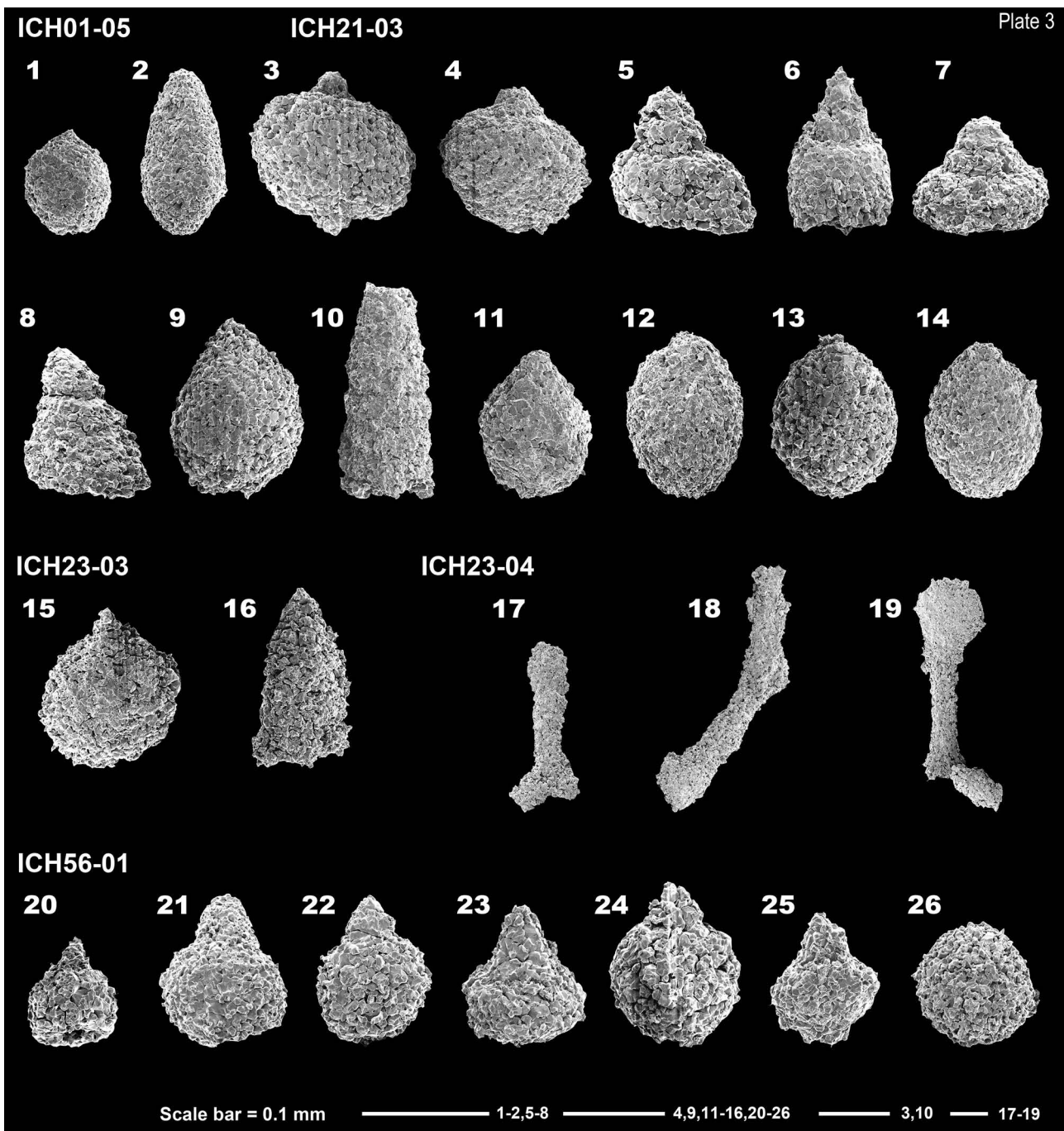


Plate 3 SEM images of Jurassic radiolarians from the Kassenba and Kuzumaki formations in the Ichinohe–Kunohe area.

ICH01-05 (Locality 3: Kassenba Formation). **1:** Nassellaria gen. et sp. indet., **2:** *Guexella* (?) sp. **ICH21-03** (Locality 4: Kassenba Formation), **3:** *Williriedellum* (?) sp., **4:** *Zhamoidellum* (?) sp., **5–6:** *Eucyrtidiellum* spp., **7–9, 11–14:** Nassellaria gen. et sp. indet. **10:** *Transhsuum* (?) sp. **ICH23-03** (Locality 5: Kassenba Formation), **15–16:** Nassellaria gen. et sp. indet. **ICH23-04** (Locality 6: Kassenba Formation), **17–19:** Angulobracchiidae gen. et sp. indet. **ICH56-01** (Locality 7: Kuzumaki Formation), **20:** *Eucyrtidiellum* (?) sp., **21–24:** Nassellaria gen. et sp. indet., **25:** *Unuma* (?) sp., **26:** Spherical radiolaria. All scale bars are equal to 0.1 mm.

北部北上帯一戸－九戸地域(岩手県)から産出したジュラ紀放散虫

中江 訓

要 旨

東北日本の北部北上帯には、玄武岩・石灰岩・チャート・泥岩・砂岩などの多様な岩石から構成される堆積岩複合体が分布する。岩手県北部の一戸－九戸地域におけるこれらの岩石のうち5地点の珪質泥岩ならびに2地点の泥岩から、*Nassellaria*目が卓越する放散虫群集を得た。本報告ではこれらの放散虫化石群集を記載するとともにその種構成に基づき、一戸－九戸地域に分布する珪質泥岩ならびに泥岩の地質時代が前期ジュラ紀(Toarcian)から後期ジュラ紀(Kimmeridgian)に至ると結論した。

難読・重要地名

Akka : 安家, Araida : 新井田, Hachinohe : 八戸, Hayato : 早渡, Hiraniwadake : 平庭岳, Ichinohe : 一戸, Iwate : 岩手, Kamaishi : 釜石, Karumai : 軽米, Kassenba : 合戦場, Koyukiya : 小雪屋, Kunohé : 九戸, Kuzumaki : 葛巻, Mabechigawa : 馬淵川, Ninohe : 二戸, North Kitakami belt : 北部北上帯, Ôdaira : 大平, Ôtori : 大鳥, Oritsume-dake : 折爪岳, Sawayamagawa : 沢山川, Seki : 関, Setsukinai-gawa : 瀬月内川, Shimo-sawanai : 下沢内, Suwano : 諏訪野, Takayashiki : 高屋敷, Tanohata : 田野畠, Yukiya-gawa : 雪谷川。

地質調査総合センター研究資料集

- 618 地質標本館 2015 夏の特別展ジオパークで見る日本の地質 渡辺 真人
- 619 地質標本館での地中熱利用ヒートポンプシステムおよびその性能評価試験 澤井 祐紀
工事での作業風景
- 620 第 12 回水文学的・地球化学的手法による地震予知研究についての日台国際ワークショップ予稿集 謝 正倫・小泉 尚嗣・松本 則夫編
- 621 第 13 回水文学的・地球化学的手法による地震予知研究についての日台国際ワークショップ予稿集 小泉 尚嗣・松本 則夫・謝 正倫編
- 622 地質標本館 2015 夏の特別展ジオパークで見る日本の地質(ポスターデータ) 渡辺 真人
- 623 産総研による貞觀地震の復元 澤井 祐紀
- 624 蛍光 X 線分析装置（地質調査総合センター鉱物資源研究グループ設置）による岩石化学分析の精度と測定限界 森田 沙綾香・高木 哲一・昆 慶明・荒岡 大輔
- 625 北海道厚岸町における湿原堆積物の説明 澤井 祐紀・田村 明子・黒坂 朗子
- 626 富士火山山頂部におけるテフラ層序記載 山元 孝広・石塚 吉浩・高田 亮・中野 俊
- 627 福岡県柳川市における産業技術総合研究所ボーリングの柱状図 松浦 浩久
- 629 吸気フィルタの火山灰目詰試験 山元 孝広・古川 竜太・奥山 一博
- 630 西暦 869 年貞觀地震の復元 田村 明子・澤井 祐紀・黒坂 朗子
- 631 浅間火山におけるプリニー式噴火時の降灰評価 山元 孝広
- 632 支笏カルデラ形成噴火のマグマ体積 山元 孝広

地質調査総合センターの最新出版物

5万分の1地質図幅	茂原・母島列島・新潟及び内野
20万分の1地質図幅	横須賀(第2版)・大分(第2版)・松山(第2版)
200万分の1地質編集図	No.4 日本地質図(第5版) No.11 日本の火山(第3版) No.12 富士火山地質図(第2版)
特殊地質図	No.85 沖縄島北部周辺海域海洋地質図(1:20万) No.86 宝蘭沖表層堆積図(1:20万) No.87 金華山沖表層堆積図(1:20万)
海洋地質図	No.7 南西諸島(1:50万)
鉱物資源図	No.14 全国主要活断層活動確率地図
構造図	No.18 藏王火山地質図(1:2.5万)
火山地質図	No.19 九重火山地質図(1:2.5万)
水文環境図	No.9 富士山
空中磁気図	No.46 養老断層地域高分解能空中磁気異常図 No.47 富士火山地域高分解能空中磁気異常図
重力図	No.30 徳島地域重力図(ブーゲー異常) No.31 京都地域重力図(ブーゲー異常) S3 甲府地域重力構造図(ブーゲー異常)
海外地球科学図	アジア地質図(1:500万) 中央アジア鉱物資源図(1:300万) アジア鉱物資源図(1:500万)
海陸シームレス地質図	S-4 海陸シームレス地質情報集「石狩低地帯南部沿岸域」
燃料資源図	FR-3 燃料資源地質図「関東地方」
土壤評価図	E-6 表層土壤評価基本図「茨城県地域」
数値地質図	G-16 20万分の1日本シームレス地質図 DVD版 G-17 九州地質ガイド GT-4 全国地熱ポテンシャルマップ S-2 海陸シームレス地質情報集「新潟沿岸域」 S-3 海陸シームレス地質情報集「福岡沿岸域」 V-3 口永良部島火山地質データベース P-2 日本重力データベース DVD版 G20-1 20万分の1数値地質図幅集「北海道北部」第2版 G20-2 20万分の1数値地質図幅集「北海道南部」第2版
その他	日本の熱水系アトラス 海と陸の地球化学図 関東の地球化学図

地質調査研究報告編集委員会

委員長	鈴木 淳
副委員長	田中 明子
委員員	石塚 治徹
	清水 康明
	昆慶明
高倉伸一	
大谷竜一	
長森英明	
内野隆之	
高橋浩	
工藤崇	
板木拓也	
森尻理恵	
加瀬治	

Bulletin of the Geological Survey of Japan Editorial Board

Chief Editor:	Atsushi Suzuki
Deputy Chief Editor:	Akiko Tanaka
Editors:	Osamu Ishizuka
	Toru Shimizu
	Yoshiaki Kon
	Shinichi Takakura
	Ryu Ohtani
	Hideaki Nagamori
	Takayuki Uchino
	Yutaka Takahashi
	Takashi Kudo
	Takuya Itaki
	Rie Morijiri
	Osamu Kase

事務局

国立研究開発法人 産業技術総合研究所
地質調査総合センター
地質情報基盤センター 出版室

<https://www.gsj.jp/inquiries.html>

Secretariat Office

National Institute of Advanced Industrial Science and Technology
Geological Survey of Japan
Geoinformation Service Center Publication Office

<https://www.gsj.jp/en/>

地質調査研究報告 第67巻 第3号
平成28年7月29日 発行

国立研究開発法人 産業技術総合研究所
地質調査総合センター

〒305-8567
茨城県つくば市東1-1-1 中央第7

Bulletin of the Geological Survey of Japan
Vol.67 No.3 Issue July 29, 2016

Geological Survey of Japan, AIST

AIST Tsukuba Central 7, 1-1-1, Higashi,
Tsukuba, Ibaraki 305-8567 Japan

地
質
調
査
研
究
報
告

BULLETIN OF THE GEOLOGICAL SURVEY OF JAPAN

Vol. 67 No. 3 2016

CONTENTS

Sedimentation rate and sedimentary environment during the past 100 years in Lake Biwa, Shiga Prefecture, central Japan Yutaka Kanai and Yoshio Inouchi	67
Jurassic radiolarians from the Ichinohe–Kunohe area (Iwate Prefecture) in the North Kitakami Belt, Japan Satoshi Nakae	81